

الجمهورية الجزائرية الديمقراطية الشعبية
REPUBLIQUE ALGERIENNE DEMOCRATIQUE ET POPULAIRE

وزارة التعليم العالي والبحث العلمي
Ministère de l'Enseignement et de la Recherche Scientifique

50/85

»O«
ECOLE NATIONALE POLYTECHNIQUE

DEPARTEMENT DE GENIE MECANIQUE

PROJET DE FIN D'ETUDES

en vue de l'obtention du diplôme d'ingénieur d'état

Sujet

**Comparaison d'Efficacités
de Certains Systèmes
de Vibro-Isolation**

Proposé par :

Mr Marek KSIAZEK

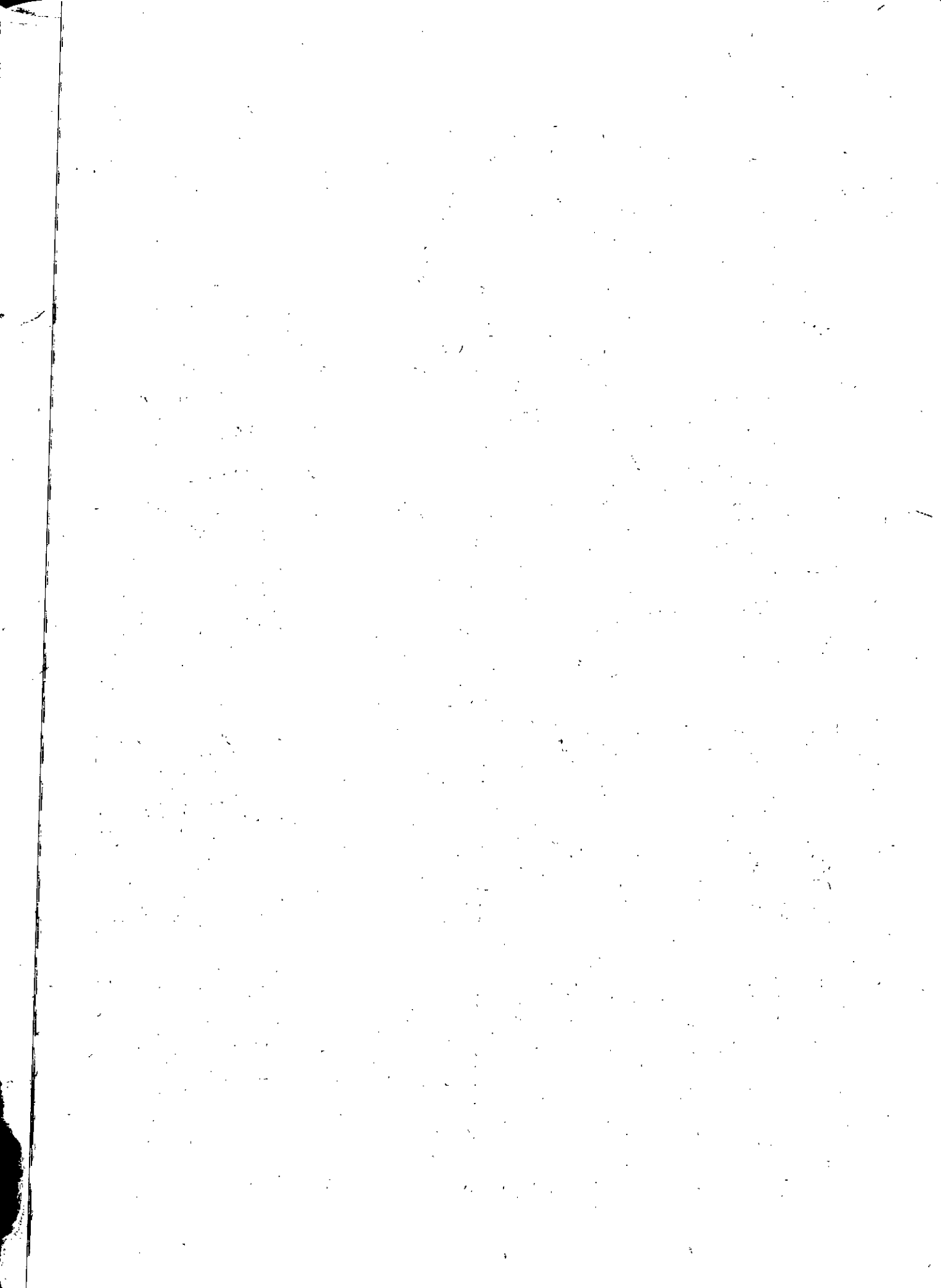
Etudié par :

Mohamed TRAI

Dirigé par :

Mr Marek KSIAZEK

Promotion Juin 1985



الجمهوريّة الجزائريّة الديمقراطية الشعبيّة
REPUBLIQUE ALGERIENNE DÉMOCRATIQUE ET POPULAIRE

وزارة التعليم العالي والبحث العلمي
Ministère de l'Enseignement et de la Recherche Scientifique
»o«

ECOLE NATIONALE POLYTECHNIQUE

DEPARTEMENT DE GENIE MECANIQUE

PROJET DE FIN D'ETUDES

en vue de l'obtention du diplôme d'ingénieur d'état

Sujet

**Comparaison d'Efficacités
de Certains Systèmes
de Vibro-Isolation**

Proposé par :

Mr Marek KSIAZEK

Etudié par :

Mohamed TRAI

Dirigé par :

Mr Marek KSIAZEK

Promotion Juin 1985

ملخص

يتضمن هذا المشروع في مقارنة فعالية مطورة فعالة ومطورة
لعمل الاهتزازات مع مطارات عمل الاهتزازات
التي تحصل عليها بواسطه طريقة فينر هويفن

Resumé

Ce projet , consiste à comparer l'efficacité
des systèmes de vibro-isolation passifs
et Actif , et celle des systèmes de vibro-isolation
obtenus par la Méthode de Wiener Hopf

Summary

In this study the quality of the passive
and active systems of vibroisolation
Were compared to the optimum systems
of vibroisolation obtained from the
W.H's équation

DEDICACES

A mes ,Chers parents qui se sont sacrifiés pour me voir atteindre ,ce but.

- freres Mansour et fbdelkader
- Mes Soeurs
- toute la famille triai
- mes amis en particulier Hani.

Je Dedie , ce modeste travail.

..Mohammed triai..

REMERCIEMENTS

Je tiens à exprimer ma profonde gratitude,
et mes vifs remerciements à M^e Marek Ksiazek
qui a, à l'aimable sollicitation de me
suivre avec une bonne attention dans
let travail ; ainsi que tous les enseignants
qui ont contribué à ma formation.

Que tous ceux qui ont participé de près ou
de loin à la réalisation de ce projet
trouvent ici ma sincère gratitude.

SOMMAIRE

Introduction	-----	01
ChapI : GENERALITES	-----	02
1 : Notions Générales sur les processus stochastiques	02
1.1 : Définition d'une fonction aléatoire	03
1.2 : Processus stochastiques et fonctions aléatoires	03
1.3 : Caractéristiques d'un processus aléatoire	04
2 : Différents Processus aléatoires	-----	05
2.1 : Base de la théorie de Markov	-----	05
2.2 : Processus aléatoires stationnaires	-----	07
2.3 : Processus ergodiques	-----	07
2.4 : Processus Gaussiens	-----	08
3 : Fonction de Densité spectrale Energetique	-----	09
4 : Expression de la dispersion de la grandeur de sortie d'un système linéaire	-----	10
4.1 : Cas général	-----	10
4.2 : Dispersion de l'accélération de sortie	-----	11
4.3 : Dispersion du déplacement relatif	-----	11
4.4 : Dispersion de la vitesse de sortie	-----	11
5 : Systèmes Stables et Réalisables	-----	12
5.1 : Systèmes Stables	-----	12
5.2 : Systèmes réalisables	-----	12
5.3 : Systèmes physiquement réalisables	-----	13

6 : Systèmes Linéaires Stationnaires ----- 14

Chap II : PROBLEMATIQUE DE CRITERES --- 15

- 1 : Cas General ----- 15
- 1.1 : Critère de déplacement relatif ----- 15
- 1.2 : Critère d'accélération minimale ----- 15
- 1.3 : Recherche d'un cas optimum ----- 16
- 1.4 : forme de la fonctionnelle ----- 16

Chap III : CONSTRUCTION ANALYTIQUE DES SYSTEMES DE VIBRO ISOLATION ----- 18

- 1 : Cas General ----- 18
- 2 : Conditions de base ----- 18
- 3 : Présentation du système ----- 19

Chap IV : SYSTEME DE VIBRO ISOLATION POUR VIBRO-ISOLER UN CORPS RIGIDE ----- 21

- 1 : Système de vibro-isolation à structure canne. 21
- 2 : Détermination de la fonctionnelle ----- 21
 - 2.1 : Détermination de C_{opt} et d_{opt} ----- 22
 - 2.2 : Détermination de la fonctionnelle par la méthode de Wiener Hoff ----- 25
 - 2.3 : Comparaison des résultats ----- 27
- 3 : Détermination de C_{opt} et d_{opt} ----- 32
 - 3.1 : Méthode de PHILLIPS ----- 32

4 : Détermination de la fonctionnelle C par la méthode de Wiener-Hopf	38
5 : Comparaison des résultats	45
6 : Système de vibro isolation actif	48
6.1 : Exemples de S.V. actif	48
6.1.1 Schéma bloc	50
6.2 : Problème de stabilité d'un S.V.	51
6.3 : Calcul de la fonctionnelle C_{actif}	52
6.3.1 S.V. a (action proportionnelle)	52
6.3.2 Comparaison des résultats	54
6.4 Influence de la fonction de transfert $W_a(s)$	57
6.4.1 : S.V. a (action proportionnelle)	57
6.4.2 : S.V. a (action intégrale pure)	61
6.4.3 : S.V. a (action intégrale)	65

Chap II: SYSTEME DE VIBRO ISOLATION POUR

VIBRO-ISOLER UN SYSTEME DYNAMIQUE

1 : Système de vibro-isolation à structure connue	71
2 : Système de vibro-isolation à structure incouue	77
3 : Système de vibro-isolation actif	88
3.1 : Schéma bloc	88

Chap VII: CONCLUSION

INTRODUCTION

Dans la vie courante, on est souvent confronté à des vibrations dues à des excitations à caractère aléatoire.

mais il faut avouer que la plus part du temps elles sont nettement néfastes.

Le remède efficace à ces vibrations est d'assurer au maximum une bonne isolation vibratoire des systèmes mécaniques.

Pour le faire, on applique des méthodes à outil mathématique, la méthode de Wiener Hopf et celle de Phillips permettant de trouver des systèmes à vibroisolation bien appropriés.

Les différents types de vibroisolation qui peuvent exister sont :

Systèmes de vibroisolation actifs actionnés par des servomécanismes (asservissements), qui sont des systèmes de commandes possédant des propriétés bien spécifiées :

- Amplification de puissance de puis un signal bras vers un signal de puissance élevée
- Indépendance vis à vis du milieu extérieur

- Adjonction d'un retour
- 2. Systèmes de vibroisolation passifs qui agissent par action d'un ressort et amortisseur
- 3. Combinaison des deux systèmes de vibroisolation : passifs et actifs.

L'objet de cette étude est de faire une comparaison d'efficacité de certains systèmes de vibroisolation.

Les phénomènes aléatoires ne peuvent être connus que par leurs caractéristiques statistiques.

Les méthodes statistiques sont maintenant largement utilisées dans tous les domaines de la science. Pour le faire il a été jugé utile et nécessaire de consacrer un premier chapitre à un bref rappel sur des notions statistiques avant d'aborder cette étude.

I GENERALITES

1. Notions générales sur les processus stochastiques

Dans les problèmes appliqués, on rencontre des grandeurs aléatoires dont les valeurs varient au cours du processus expérimental ; par exemple des grandeurs aléatoires qui changent avec le temps.

L'indétermination du déroulement futur, de la réalisation d'un processus, c'est à dire le fait qu'on ne puisse jamais prédire le caractère du processus pour le futur, même si le caractère est connu pour le passé, constitue la propriété fondamentale des processus aléatoires.

1.1 Définition d'une fonction aléatoire

On appelle fonction aléatoire une fonction pour laquelle à chaque valeur de la variable indépendante correspond une valeur aléatoire.

1.2 Processus stochastiques et fonctions aléatoires

Un processus stochastique est en principe un procédé de définition d'une fonction aléatoire $x(t)$ du temps t , dans lequel le hasard intervient à chaque instant. C'est à dire quelque soit la valeur t_1 de t que l'on considère

et quelque soit τ petit, la connaissance de $X(t)$ depuis l'instant initial t_0 jusqu'à l'instant t_1 ne détermine pas les valeurs de cette fonction dans l'intervalle $(t_1, t_1 + \tau)$, ces valeurs restent aléatoires.

3 Caractéristiques d'un processus aléatoire

Pour décrire les propriétés fondamentales d'un processus aléatoire, on utilise cinq fonctions non aléatoires caractérisant ce processus :

- a. l'espérance mathématique de la fonction aléatoire, qui caractérise le comportement moyen du processus en fonction du temps
- b. l'espérance mathématique du carré de la fonction aléatoire (dispersion) qui caractérise, en fonction du temps la dispersion des valeurs de la fonction autour de sa valeur moyenne.
- c. la densité de dispersion ; donne une idée de la répartition de la fonction aléatoire à un instant donné
- d. la fonction de corrélation

Ces deux dernières sont de nouvelles caractéristiques qui sont introduites pour étudier les processus aléatoires continues.

Moyennes statistiques.

a. Valeur moyenne

$$\bar{x}(t) = \int_{-\infty}^{+\infty} x w(x, t) dx ; w(x, t) \text{ densité de probabilité du } t^{\text{e}} \text{ état}$$

b. moyenne quadratique

$$\overline{x^2}(t) = \int_{-\infty}^{+\infty} x^2 w(x, t) dx$$

c. fonction d'auto-corrélation

C'est une fonction non aléatoire, caractérise la fonction aléatoire $x(t)$, et qui permet d'établir le degré de dépendance de deux valeurs de la fonction aléatoire; elle est définie par:

$$K_x(t_1, t_2) = \overline{x(t_1) \cdot x(t_2)} = \int_{-\infty}^{+\infty} x_1 \cdot x_2 w(x_1, x_2, t_1, t_2) dx_1 dx_2$$

d. variance

$$\sigma_x^2(t) = \overline{(x(t) - \bar{x}(t))^2} = \overline{x^2(t)} - (\bar{x}(t))^2$$

2. Différents processus aléatoires

2.1 Base de la théorie des processus de Markov

Ces processus interviennent dans de nombreux phénomènes comme, ceux de désintégration, radioactivité, dans la théorie des processus de Markov; la loi de répartition de l'ordonnée du processus à l'instant futur quelconque t_i dépend seulement de la valeur de l'ordonnée à l'instant présent t_{i-1} , et non des valeurs de

la fonction dans le passé ; C'est à dire que la connaissance supplémentaire des valeurs de la fonction aléatoire pour $t < t_i$ ne modifie pas le caractère de répartition des ordonnées de la fonction pour $t \geq t_i$.

Physiquement, cette particularité des processus aléatoires est équivalente aux processus sans conséquence (aux processus qui ne dépendent pas de l'histoire précédente).

Mathématiquement les processus de Markov sont complètement caractérisés par la seule connaissance des lois de répartition bidimensionnelle ; Conformément à cette dernière, on peut écrire :

$$W(x_3, t_2; x_1, t_1; x_0, t_0) = W(x_2, t_2 / x_1, t_1; x_0, t_0) \cdot W(x_1, t_1, x_0, t_0)$$

$$\text{de même } W(x_1, t_1, x_0, t_0) = W(x_1, t_1 / x_0, t_0) \cdot W(x_0, t_0)$$

Comme $W(x_2, t_2 / x_1, t_1; x_0, t_0) = W(x_2, t_2 / x_1, t_1)$, ceci nous donne :

$$W(x_2, t_2, x_1, t_1; x_0, t_0) = W(x_2, t_2 / x_1, t_1) \cdot W(x_1, t_1 / x_0, t_0) \cdot W(x_0, t_0)$$

Pour une densité de probabilité n dimensionnelle on obtient :

$$W_n(x_n, t_n; x_{n-1}, t_{n-1}, \dots; x_0, t_0) = W(x_n, t_n / x_{n-1}, t_{n-1}) \cdot W(x_{n-1}, t_{n-1} / x_{n-2}, t_{n-2}) \cdot \dots \cdot W(x_0, t_0)$$

avec :

$$W(x_i, t_i / x_{i-1}, t_{i-1}) \geq 0 ; \int_{-\infty}^{+\infty} W(x_i, t_i / x_{i-1}, t_{i-1}) dx_i = 1$$

2.2 Processus aléatoires stationnaires

des processus aléatoires qui se déroulent toujours approximativement de la même façon dans le temps, et qui présentent l'aspect de vibrations aléatoires continues relativement à une certaine valeur moyenne, avec des caractéristiques probabilistes ne variant pas sensiblement avec le temps, ont obtenu une très large diffusion. De tels processus aléatoires sont dits stationnaires.

On peut considérer un processus stationnaire comme un processus qui se déroulerait sur une durée infiniment longue; en ce sens, un processus stationnaire est analogue au régime de vibrations permanent lorsque les paramètres des vibrations stables ne dépendent plus de l'origine du temps.

2.3 Processus ergodiques

Un processus ergodique est un processus selon laquelle un grand nombre d'observations effectuées sur un système unique dont le mouvement est régi par un processus aléatoire stationnaire à des instants arbitraires à les même propriétés statistiques que le même nombre d'observations effectuées en un seul et même instant, sur des systèmes homogènes au premier arbitrairement

choisi ; sur cette hypothèse , on arrive à faire une enorme simplification d'étude présentant un grand intérêt pratique ; ce qui réduit le degré des études expérimentales , et par conséquents , réduction des coûts matériels .

a. Moyennes temporelles du processus stationnaire ergodique

a.1. Valeur moyenne

$$\overline{x(t)} = \lim_{T \rightarrow \infty} \frac{1}{2T} \int_{-T}^T x(t) dt ; \text{ lorsque cette limite existe.}$$

a.2. moyenne quadratique.

$$\overline{x^2(t)} = \lim_{T \rightarrow \infty} \frac{1}{2T} \int_{-T}^T x^2(t) dt$$

a.3 dispersion

$$\sigma_x^2 = \lim_{T \rightarrow \infty} \frac{1}{2T} \int_{-T}^T (x(t) - \overline{x(t)})^2 dt$$

2.4 Processus gaussiens

Ces processus interviennent dans de nombreux phénomènes comme , cels des effets physiques qui apparaissent par exemple avec les influences du profil de la route ; ou d'une piste d'aérodrome

Mathématiquement Un processus est gaussien ou normal si pour chaque ensemble fini d'instants t_i ($i=1,2,\dots,n$)

les variables aléatoires $X_i = X(t_i)$ ont une densité de probabilité gaussienne de la forme suivante qui dépend généralement des instants t_i auxquels on observe le processus :

$$W(x) = \frac{1}{\Gamma \sqrt{2\pi}} \exp \left(-\frac{(x-\mu)^2}{2\sigma^2} \right)$$

3 Fonction de densité spectrale énergétique

La densité spectrale $S(\omega)$ se définit comme la transformée de Fourier de la fonction de corrélation $R(\tau)$.

$$\text{Soit, } S(\omega) = \int_{-\infty}^{+\infty} R(\tau) e^{-j\omega\tau} d\tau \quad (1)$$

$$X(j\omega) = \int_{-\infty}^{+\infty} x(t) e^{-j\omega t} dt = \int_{T \rightarrow \infty}^T x(t) e^{-j\omega t} dt$$

$X(j\omega)$ est la transformée de Fourier de $x(t)$.

$$\text{Soit la fonction } R_T(\tau) = \lim_{T \rightarrow \infty} \frac{1}{2T} \int_{-T}^T x(t) \cdot x(t+\tau) dt \quad (2)$$

(1) et (2) nous donne :

$$\begin{aligned} S(\omega) &= \lim_{T \rightarrow \infty} \frac{1}{2T} \int_{-\infty}^{+\infty} e^{-j\omega\tau} d\tau \cdot \int_{-\infty}^{+\infty} x_T(t) x_T(t+\tau) dt \\ &= \lim_{T \rightarrow \infty} \frac{1}{2T} \int_{-\infty}^{+\infty} d\tau \int_{-\infty}^{+\infty} x_T(t) x_T(t+\tau) e^{-j\omega(t+\tau)} \cdot e^{j\omega t} dt \end{aligned}$$

$$S(\omega) = \lim_{T \rightarrow \infty} \frac{1}{2T} \int_{-\infty}^{+\infty} x(t) e^{j\omega t} dt \cdot \int_{-\infty}^{+\infty} x(t+\tau) e^{-j\omega(t+\tau)} d\tau$$

$$S(\omega) = \lim_{T \rightarrow \infty} \frac{1}{2T} X_T(-j\omega) \cdot X_T(j\omega) = \lim_{T \rightarrow \infty} \frac{1}{2T} |X_T(j\omega)|^2$$

4 Expression de la dispersion de la grandeur de sortie d'un système linéaire

4.1 Cas général

Soit $x_o(t)$ et $x(t)$ les deux grandeurs d'entrée et de sortie d'un système linéaire.

On suppose que l'espérance mathématique $\bar{x}(t)$ est nulle
La dispersion de $x(t)$ sera donc:

$$\sigma_x^2 = \lim_{T \rightarrow \infty} \frac{1}{2T} \int_{-T}^T x^2(t) dt = \lim_{T \rightarrow \infty} \frac{1}{2T} \int_{-T}^T x(t) \left\{ \frac{1}{2\pi} \int_{-\infty}^{+\infty} X(-j\omega) e^{j\omega t} d\omega \right\} dt$$

$X(j\omega)$: représente la transformée de Fourier de $x(t)$.
de même $X_x(-j\omega) = H_{\frac{x}{x_o}}(-j\omega) X_{x_o}(-j\omega)$;

$H_{\frac{x}{x_o}}$; représente la fonction de transfert du système linéaire; d'où:

$$\sigma_x^2 = \lim_{T \rightarrow \infty} \frac{1}{2T} \int_{-T}^T x(t) \left\{ \frac{1}{2\pi} \int_{-\infty}^{+\infty} H_{\frac{x}{x_o}}(-j\omega) X_{x_o}(-j\omega) e^{-j\omega t} d\omega \right\} dt$$

après permutation des deux intégrales on obtient:

$$\sigma_x^2 = \lim_{T \rightarrow \infty} \frac{1}{2T} \int_{-T}^T H_{\frac{x}{x_o}}(-j\omega) \cdot \frac{1}{2\pi} \int_{-\infty}^{+\infty} x(t) e^{-j\omega t} dt d\omega$$

$$\text{Or } \int_0^{+\infty} x(t) e^{-j\omega t} dt = H \frac{x}{x_0}(j\omega) X_{x_0}(j\omega)$$

on obtient donc :

$$\sigma_x^2 = \lim_{T \rightarrow \infty} \frac{1}{2T} \cdot \frac{1}{2\pi} \int_{-T}^T |H \frac{x}{x_0}(j\omega)|^2 |X_{x_0}(j\omega)|^2 d\omega$$

Soit :

$$\sigma_x^2 = \frac{1}{2\pi} \int_{-\infty}^{+\infty} |H \frac{x}{x_0}(j\omega)|^2 \cdot \lim_{T \rightarrow \infty} \frac{1}{2T} |X_{x_0}(j\omega)|^2 d\omega$$

$$\text{avec } S_{x_0}(\omega) = \lim_{T \rightarrow \infty} \frac{1}{2T} |X_{x_0}(j\omega)|^2 d\omega$$

d'où :

$$\sigma_x^2 = \frac{1}{2\pi} \int_{-\infty}^{+\infty} |H \frac{x}{x_0}(j\omega)|^2 S_{x_0}(\omega) d\omega$$

4.2 dispersion de l'accélération de sortie

$$\sigma_{\ddot{x}}^2 = \frac{1}{2\pi} \int_{-\infty}^{+\infty} |H \frac{\ddot{x}}{x_0}(j\omega)|^2 S_{x_0}(\omega) d\omega ; \quad j\omega = s$$

4.3 dispersion du déplacement relatif

$$\sigma_{x-x_0}^2 = \frac{1}{2\pi} \int_{-\infty}^{+\infty} |H \frac{x-x_0}{x_0}(j\omega)|^2 S_{x_0}(\omega) d\omega.$$

4.4 dispersion de la vitesse de sortie

$$\sigma_{\dot{x}}^2 = \frac{1}{2\pi} \int_{-\infty}^{+\infty} \left| \frac{H \ddot{x}_0(j\omega)}{j\omega} \right|^2 S_{x_0}(\omega) d\omega$$

5. Systèmes stables et réalisables

5.1 Systèmes stables

On dit qu'un système est stable si tout signal d'entrée borné produit un signal de sortie borné.

La stabilité est formulée dans le domaine temporel et dans le domaine fréquentiel.

a. Dans le domaine temporel.

La condition nécessaire et suffisante pour qu'un système soit stable est que sa fonction de pondération soit absolument intégrable.

b. Dans le domaine fréquentiel

La condition de stabilité définie ci-dessus requiert que le domaine de convergence de la fonction de transfert $H(P)$ contienne l'axe imaginaire $\alpha=0$;

$$\text{tel que } P = \alpha + j\omega$$

$$|H(P)| \leq \int_{-\infty}^{+\infty} |h(t)| e^{-pt} dt = \int_{-\infty}^{+\infty} |h(t)| e^{-\alpha t} dt$$

dans le cas où $\alpha=0$; on a $|H(P)| \leq \int_{-\infty}^{+\infty} |h(t)| dt < \infty$

5.2 Systèmes réalisables

Un système est dit stable si l'apparition d'un signal à sa sortie ne peut précéder l'application d'un signal à son entrée.

a: Dans le domaine temporel

Un signal est réalisable si la fonction de transfert $H(s)$ ait pour domaine de convergence le demi-plan défini par $\operatorname{Re}(s) > \alpha_0$; α_0 = nombre fini des singularités de $H(s)$ se trouvent de la droite définie par $s = j\omega + \alpha_0$. de sorte que $h(t) = \frac{1}{2\pi j} \int_{-\infty}^{+\infty} H(s) e^{st} ds$ est nulle pour $t < 0$.

5.3 Systèmes physiquement réalisables

Un système est physiquement réalisable s'il est à la fois stable et réalisable

a: Dans le domaine temporel

$$\int_{-\infty}^{+\infty} |h(t)| dt < +\infty \text{ et } h(t) = 0 \text{ pour } t \text{ négative}$$

b: Dans le domaine fréquentiel

On applique le critère de Paley-Wiener

$$\text{Si } I = \int_{-\infty}^{+\infty} \frac{|\log|H(j\omega)||}{1+\omega^2} d\omega \text{ est bornée, alors } |H(j\omega)|$$

est le module de la fonction de transfert d'un système physiquement réalisable

si $I < \infty$; alors $|H(j\omega)|^2 = H^*(j\omega) \cdot H(j\omega)$ peut être mis en produit de facteurs et il est possible que $H(j\omega)$ soit choisi de sorte que $H(s)$ ne contienne pas de

poles dans la partie droite du plan complexe $\operatorname{Re}\{\beta\} > 0$, la fonction de transfert doit avoir pour domaine de convergence tout le demi plan $\operatorname{Re}\{\beta\} \geq 0$, c'est à dire qu'elle doit être analytiquement dans le demi plan $\operatorname{Re}\{\beta\} > 0$ et ne pas avoir de singularités sur l'axe imaginaire.

6 Systèmes linéaires stationnaires

d'une façon général si la réponse d'un système, lorsqu'on applique à son entrée une somme de signaux, est égale à la somme des réponses qu'on aurait obtenues si chaque signal avait été appliqué séparément. et si le signal de sortie devient λ fois plus grand si le signal d'entrée devient λ fois plus grand.

Mathématiquement: H est dit linéaire; ainsi que le système associé si :

$$H\{x_1(t) + x_2(t)\} = y_1(t) + y_2(t)$$

$$H\{\lambda x(t)\} = \lambda H\{x(t)\}$$

$x(t)$ et $y(t)$ sont les grandeurs d'entrée et de sortie d'un système

H : opérateur fonctionnel qui transforme l'espace du processus $x(t)$ dans l'espace du processus $y(t)$.

II Problématique de critères

1 cas général

d'une façon générale, pour obtenir une meilleure vibro-isolation d'un système, il faut avoir :

- Une dispersion minimale, ce qui assure la souplesse du système de vibro-isolation.
- déplacements relatifs limités, ce qui assure la rigidité du système de vibro-isolation

1.1 Critère de déplacement relatif

Pour un système donné ayant pour espace espace des signaux d'entrée $x_o(t)$ et pour espace des signaux de sortie $x(t)$, on désire que le déplacement relatif $s(t) = x_o(t) - x(t)$ soit minimum ; que l'on caractérise par sa valeur moyenne quadratique :

$$\bar{s}^2 = \lim_{T \rightarrow \infty} \frac{1}{2T} \int_{-T}^T s^2(t) dt$$

1.2 Critère d'accélération minimale

Pour répondre aux normes hygiéniques de confort et de sécurité dans le domaine de vibro-isolation ; on emploie le critère d'accélération

minimale ; assurant la minimisation de la dispersion de le système de vibro-isolation ; dans , le , les l'acceleration du système est caractérisé par par sa valeur quadratique moyenne

$$\langle \ddot{x}^2(t) \rangle = \lim_{T \rightarrow \infty} \frac{1}{2T} \int_{-T}^T \ddot{x}^2(t) dt$$

13 Recherche d'un cds optimum

Le , les optimum qui obecille aux deux critères de vibro-isolation se traduit par la minimisation de la fonctionnelle C :

$$C = \int_0^{+\infty} [\delta(t)]^2 dt + \sum_{i=1}^n \lambda_i \int_0^{+\infty} [\ddot{x}_i(t)]^2 dt$$

λ_i : multiplicateurs de lagrange

14. Forme de la fonctionnelle

On suppose que les valeurs moyennes de $\delta(t)$ et de $\ddot{x}_i(t)$ sont nulles ; on obtient alors.

$$\langle \delta^2(t) \rangle = \sigma_{\delta-\delta_0}^2 ; \text{ dispersion de l'écart}$$

$$\langle \ddot{x}_i^2(t) \rangle = \sigma_{\ddot{x}_i}^2 ; \text{ dispersion de l'acceleration}$$

La forme de la fonctionnelle sera donc :

$$C = \tilde{\sigma}_{x-x_0}^2 + \sum_{i=1}^n \lambda_i \tilde{\sigma}_{\ddot{x}_i}^2$$

telle que :

$$\tilde{\sigma}_{x-x_0}^2 = \frac{1}{2\pi j} \int_{-j\infty}^{j\infty} \left| H_{\frac{x-x_0}{\tilde{x}_0}}(s) \right|^2 S_{\tilde{x}_0}(s) ds$$

$$\tilde{\sigma}_{\ddot{x}_i}^2 = \frac{1}{2\pi j} \int_{-j\infty}^{j\infty} \left| H_{\frac{\ddot{x}_i}{\tilde{x}_0}}(s) \right|^2 S_{\tilde{x}_0}(s) ds$$

Note :

$$\delta(t) = x(t) - x_0(t)$$

$\ddot{x}_i(t)$ = Accélération de la masse i

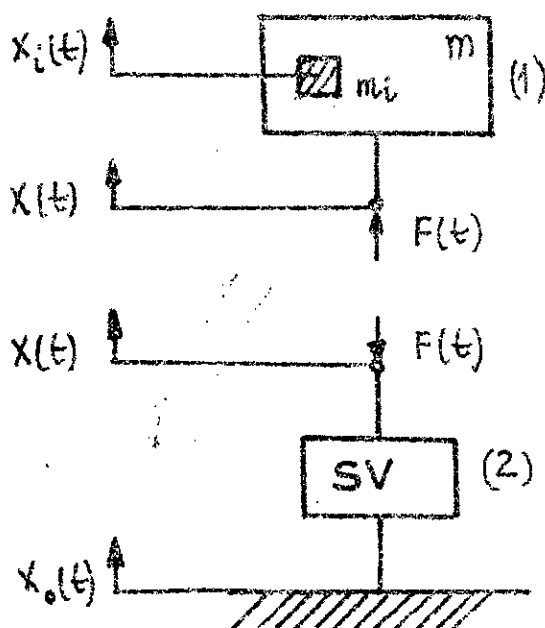
$$\text{telle que : } \delta(t) = 0 \quad t < 0$$

$$\ddot{x}_i(t) = 0 \quad t < 0$$

III CONSTRUCTION ANALYTIQUE DES SYSTEMES DE VIBRO-ISOLATION

1: Cas général

dans le cas général, on représente le problème à étudier de la façon suivante:



- (1): modèle donné représentant le système à vibro-isoler
- (2): système de vibro-isolation, qui peut être à structure connue ou inconnue

2: Conditions de base

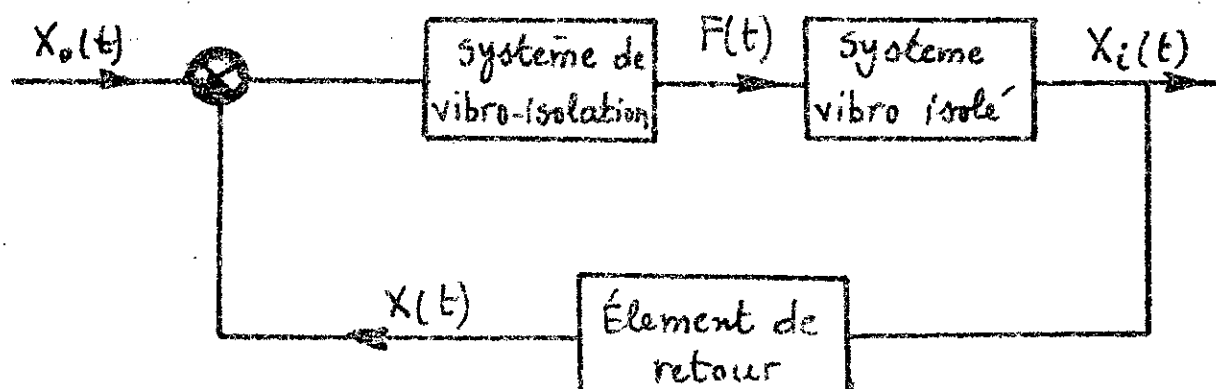
- Le système de vibro-isolation est un système linéaire
- On suppose qu'il n'existe pas de vibrations verticales
- La nature de $X_0(t)$ est un processus normal stationnaire et ergodique; sa densité spectrale

énergétique est une fonction rationnelle de ω^2

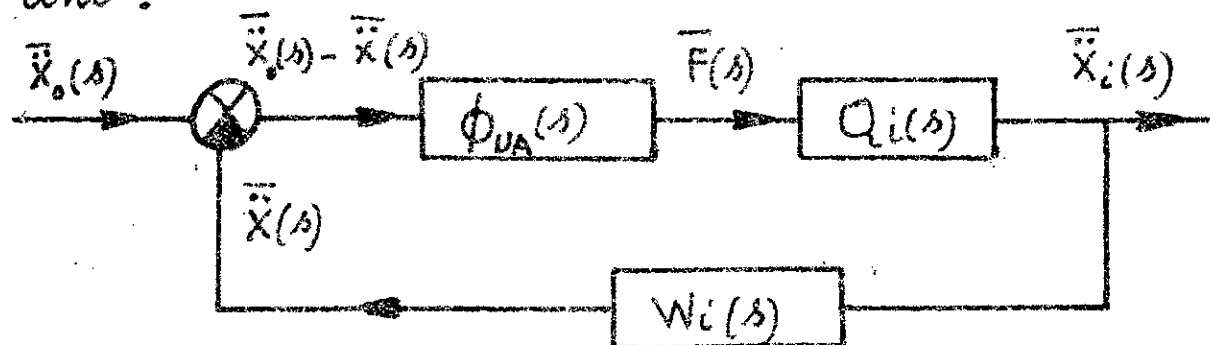
- On suppose qu'il n'y a aucune action des systèmes sur l'excitation $X_o(t)$

3 Présentation du système

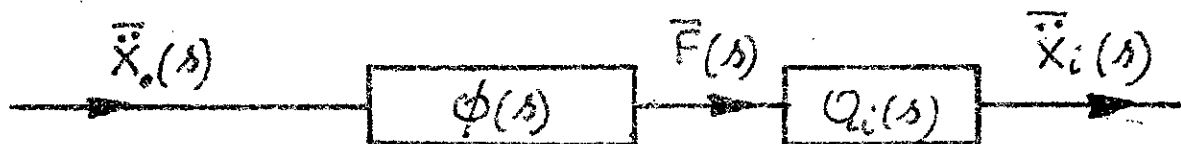
a: En boucle fermée :



En passant par les transformations de Laplace : $\ddot{X}_o(s)$, $\ddot{X}_i(s)$, $\ddot{X}(s)$, on obtient le schéma suivant :



b: En boucle ouverte :



c : Formulations mathématiques sur les fonctions de transferts :

$$\cdot H_{\frac{\ddot{x} - \ddot{x}_o}{\ddot{x}_o}}(s) = \frac{\ddot{x}(s) - \ddot{x}_o(s)}{\ddot{x}_o(s)} = \frac{\phi(s) \cdot G_i(s) - 1}{s^2}$$

$$\cdot H_{\frac{\ddot{x}_i}{\ddot{x}_o}}(s) = G_i(s) \cdot L_i(s) \cdot \phi(s)$$

tels que $\phi(s) = \frac{\ddot{F}(s)}{\ddot{x}(s)}$, $G_i(s) = \frac{s^2}{L(s)}$; $L(s) = \frac{\ddot{F}(s)}{\ddot{x}(s)}$

$$L_i(s) = \frac{\ddot{x}_i(s)}{\ddot{x}(s)}$$

$$|H(s)|^2 = H(s) \cdot H(-s)$$

$$\cdot \phi(s) = \frac{1}{\varphi(s) \cdot R(s) \cdot G_i(s)} \cdot \left\{ \frac{\ell(s)}{R(-s)} \right\}_+$$

$\phi(s)$: représente la fonction optimum du système de vibro-isolation pour laquelle la fonctionnelle C est minimale

$\phi(s)$ est démontrée en respectant les conditions de stabilité du système,

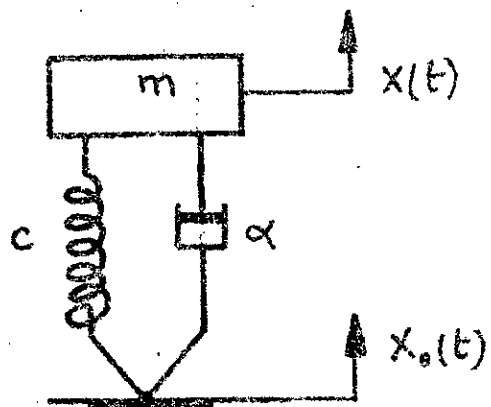
$\ell(s)$ est calculé de l'expression suivante :

$$S_{\ddot{x}_o}(s) = S_o s^4 \varphi(s) \varphi(-s), R(s) R(-s) = 1 + \lambda s^4 L_i(s) L_i(-s)$$

$$G_i(s) = \frac{s^2}{L(s)} \quad \text{où } L(s) = \frac{\ddot{F}(s)}{\ddot{x}(s)} = m s^2, \quad m = \text{masse du corps}$$

IV SYSTEME DE VIBRO-ISOLATION POUR VIBRO-ISOLER UN CORPS RIGIDE

1. Systeme de vibro isolation à structure connue



C'est un système passif représenté par un ressort de rigidité c et un amortisseur caractérisé par la constante α
 m = masse d'un model donné, représentant le corps à vibro-isoler

2. Determination de la fonctionnelle

La fonctionnelle C peut être trouvée par deux méthodes:
la méthode de Wiener Hopf et la méthode de Phillips
(derivation) qui sont tout à fait différentes;
la méthode de Wiener Hopf elle ne se contente pas
de déterminer les valeurs optimales des paramètres libres
d'un système déjà dessiné ou réalisé; mais, elle
cherche d'emblée la forme des fonctions de transfert

assurant à l'ensemble des performances optimales; par contre la méthode de phillips, cherche à déterminer les valeurs optimales des paramètres libres d'un système réalisé; dans notre cas, elle cherche à optimiser les valeurs de c et α .

2.1 Détermination de C_{opt} et α_{opt}

a: Excitation par un bruit blanc

Un bruit blanc est un bruit où toutes les fréquences sont présentées à la même amplitude, soit

$$S_{\ddot{x}}(s) = \sigma_0^2 = \text{cte}$$

En basant sur notre schéma,

la relation fondamentale de la dynamique nous donne:

$$m\ddot{x} = -\alpha(\dot{x} - \dot{x}_0) - c(x - x_0)$$

Faisons intervenir la transformation de Fourier :

$$m s^2 \bar{x}(s) = -\alpha s (\bar{x}(s) - \bar{x}_0(s)) - c (\bar{x}(s) - \bar{x}_0(s)) \text{, soit}$$

$$m s^2 \bar{x}(s) = -\bar{x}(s) (\alpha + c/s) + \bar{x}_0(s) (\alpha + c/s) \text{ d'où}$$

$$\bar{x}(s) (m s^2 + \alpha/s + c) = \bar{x}_0(s) (\alpha + c/s) \text{ , ce qui nous donne}$$

$$\frac{\bar{x}(s)}{\bar{x}_0(s)} = H_{\frac{\bar{x}}{x_0}}(s) = \frac{\alpha/s + c}{m s^2 + \alpha/s + c}$$

la dispersion de l'accélération est définie par:

$$\sigma_{\ddot{x}}^2 = \frac{1}{2\pi j} \int_{-\infty}^{+\infty} |H_{\frac{\bar{x}}{x_0}}(s)|^2 S_{\ddot{x}_0}(s) ds$$

$$\begin{aligned}
 \sigma_{\tilde{x}}^2 &= \frac{1}{2\pi j} \int_{-\infty}^{+\infty} H(s) \cdot H(-s) S_{\tilde{x}_0}(s) ds \\
 &= \frac{1}{2\pi j} \int_{-\infty}^{+\infty} \frac{\alpha s + c}{m s^2 + \alpha s + c} \cdot \frac{-\alpha s + c}{m s^2 - \alpha s + c} \cdot \tilde{S}_0^2 ds = \frac{1}{2\pi j} \int_{-\infty}^{+\infty} \frac{C(s)}{J(s)} \frac{G(-s)}{J(s)} ds \\
 &= \frac{\tilde{S}_0^2}{2\pi j} \int_{-\infty}^{+\infty} \frac{\alpha s + c}{m s^2 + \alpha s + c} \cdot \frac{G(-s)}{J(-s)} ds = \tilde{S}_0^2 \cdot I_2^{(0)}
 \end{aligned}$$

telle que $I_2^{(0)} = (\text{table d'intégration}) = \frac{c_1^2 d_0 + c_0^2 d_2}{2 d_0 d_1 d_2}$

avec $c_0 = c$; $d_1 = \alpha$

$d_0 = c$; $d_1 = \alpha$; $d_2 = m$ d'où

$$I_2^{(0)} = \frac{\alpha^2 + cm}{2\alpha m}, \text{ ce qui nous donne :}$$

$$\tilde{S}_{\tilde{x}_0}^2 = \tilde{S}_0^2 \cdot \frac{\alpha^2 + mc}{2\alpha m}.$$

La dispersion de l'écart est définie par :

$$\sigma_{x-x_0}^2 = \frac{1}{2\pi j} \int_{-\infty}^{+\infty} \left| H_{\frac{x-x_0}{\tilde{x}_0}}(s) \right|^2 S_{\tilde{x}_0}(s) ds$$

$$H_{\frac{x-x_0}{\tilde{x}_0}}(s) = \frac{\bar{x}(s) - \bar{x}_0(s)}{\bar{x}_0(s)} = \frac{1}{s^2 \bar{x}_0} (\bar{x} - \bar{x}_0) = \frac{1}{s^2} \left(H_{\frac{x}{x_0}} - 1 \right); \text{ d'où}$$

$$H_{\frac{x-x_0}{\tilde{x}_0}}(s) = \frac{-m}{m s^2 + \alpha s + c}, \text{ on aura donc :}$$

$$\sigma_{x-x_0}^2 = \tilde{S}_0^2 \cdot \frac{1}{2\pi j} \int_{-\infty}^{+\infty} \frac{-m}{m s^2 + \alpha s + c} \frac{-m}{m s^2 - \alpha s + c} ds$$

$$\frac{\sigma^2}{x-x_0} = \sigma_0^2 \frac{m^2}{2c\alpha}$$

Le critère d'optimisation est donné par la forme de la fonctionnelle suivante : $C = \sigma_{x-x_0}^2 + \lambda \sigma_{\dot{x}}^2$, où

λ : multiplicateur de lagrange on obtient donc

$$C = \frac{\sigma_0^2}{2} \left(\frac{m^2}{c\alpha} + \lambda \frac{\alpha^2 + mc}{m\alpha} \right) \quad (1)$$

Le système suivant $\begin{cases} \frac{\partial C}{\partial c} = 0 \\ \frac{\partial C}{\partial \alpha} = 0 \end{cases}$ nous donne :

$$C_{opt} = \frac{m}{\sqrt{\lambda}} \quad ; \quad \alpha_{opt} = m \sqrt{\frac{4}{\lambda}} \quad , \text{ avec}$$

$$\lambda = \lambda_0 \frac{s}{1-s} \quad ; \quad \lambda_0 = 1 [s^2] \quad ; \quad s \in (0 \div 1) \Rightarrow \lambda > 0$$

nous remplaçons les valeurs C_{opt} et α_{opt} dans l'expression (1) on obtient :

$$C_{PH} = \frac{2}{\sqrt{2}} \sigma_0^2 \lambda^{3/4} = \sqrt{2} \sigma_0^2 \lambda^{3/4}$$

C_{opt} et α_{opt} dépend de la masse m et λ

C_{PH} : représente la fonctionnelle obtenue par la méthode de phillips.

22 Determination de la fonctionnelle par la méthode de w-hopf

La fonction optimum du système de vibro-isolation est donnée par :

$$\phi(s) = \frac{1}{\varphi(s) \cdot R(s) \cdot G(s)} \cdot \left\{ \frac{\varphi(s)}{R(-s)} \right\}_+ \quad \text{avec}$$

$$S_{\ddot{x}_0}(s) = S_0 s^4 \varphi(s) \cdot \varphi(-s) = S_0^2 s^4 \cdot \frac{1}{s^2} \cdot \frac{1}{(-s)^2} \quad \text{d'où}$$

$$S_0 = \tilde{\sigma}^2 ; \quad \varphi(s) = \frac{1}{s^2} ; \quad G(s) = \frac{1}{m}$$

$$L_1(s) = \frac{\dot{x}(s)}{\ddot{x}(s)} = 1 \quad \text{ce qui nous donne :}$$

$R(s) \cdot R(-s) = 1 + \lambda s^4 = (As^2 + Bs + C)(As^2 - Bs + C)$; après identification on trouve :

$$A = \sqrt{\lambda} ; \quad B = \sqrt{2} \sqrt{\lambda} ; \quad C = 1 \quad \text{soit}$$

$$\phi(s) = \frac{1}{\frac{1}{s^2} \cdot \frac{1}{m} (As^2 + Bs + C)} \cdot \left\{ \frac{1/s^2}{As^2 - Bs + C} \right\}_+$$

$$\text{Soit } M = \frac{1}{s^2(As^2 - Bs + C)} = \frac{Ds + E}{s^2} + \frac{Fs + G}{As^2 - Bs + C}$$

par identification on trouve :

$$D = \sqrt{2} \lambda^{1/4} ; \quad E = 1 ; \quad F = -\sqrt{2} \lambda^{3/4}$$

On s'intéresse à la partie ayant des pôles à gauche de l'axe imaginaire ; on prend donc

$$M_+ = \frac{Ds+E}{s^2} = \frac{\sqrt{2} \lambda^{\frac{1}{4}} s + 1}{s^2}, \text{ ce qui nous donne}$$

$$\phi(s) = \frac{m s^2}{As^2 + Bs + C} \cdot \frac{Ds+E}{s^2} = m \frac{\sqrt{2} \lambda^{\frac{1}{4}} s + \lambda^{-\frac{1}{2}}}{s^2 + \sqrt{2} \lambda^{\frac{1}{4}} s + \lambda^{-\frac{1}{2}}}$$

la dispersion de l'accélération dans le cas sera égale

$$\sigma_{\ddot{x}}^2 = \frac{1}{2\pi j} \int_{-\infty}^{+\infty} |H_{\frac{x-x_0}{\ddot{x}_0}}(s)|^2 S_{\ddot{x}_0}(s) ds \text{ avec}$$

$$H_{\frac{x-x_0}{\ddot{x}_0}}(s) = G(s) \cdot \phi(s) \cdot L_1(s) \quad ; \quad L_1(s) = 1$$

$$H_{\frac{x-x_0}{\ddot{x}_0}}(s) = \frac{1}{m} \frac{1}{s^2 + \sqrt{2} \lambda^{\frac{1}{4}} s + \lambda^{-\frac{1}{2}}} \cdot m = \frac{\sqrt{2} \lambda^{\frac{1}{4}} s + \lambda^{-\frac{1}{2}}}{s^2 + \sqrt{2} \lambda^{\frac{1}{4}} s + \lambda^{-\frac{1}{2}}} \text{ d'où}$$

$$\sigma_{\ddot{x}_0}^2 = \sigma_0^2 \cdot \frac{1}{2\pi j} \int_{-\infty}^{+\infty} \frac{\lambda^{-\frac{1}{2}} + \sqrt{2} \lambda^{\frac{1}{4}} s}{(s^2 + \sqrt{2} \lambda^{\frac{1}{4}} s + \lambda^{-\frac{1}{2}})} \cdot \frac{\lambda^{-\frac{1}{2}} - \sqrt{2} \lambda^{\frac{1}{4}} s}{(s^2 - \sqrt{2} \lambda^{\frac{1}{4}} s + \lambda^{-\frac{1}{2}})} ds$$

$$\sigma_{\ddot{x}_0}^2 = \sigma_0^2 I_2^{(0)}$$

$$I_2^{(0)} = \frac{3}{2\sqrt{2}} \lambda^{-\frac{1}{4}} \text{ (table d'intégration)} \text{ d'où}$$

$$\sigma_{\ddot{x}_0}^2 = \sigma_0^2 \cdot \frac{3}{2\sqrt{2}} \lambda^{-\frac{1}{4}}$$

$$\text{la dispersion de l'écart : } \sigma_{x-x_0}^2 = \frac{1}{2\pi j} \int_{-\infty}^{+\infty} |H_{\frac{x-x_0}{\ddot{x}_0}}(s)|^2 ds$$

$$\text{avec } H_{\frac{x-x_0}{\ddot{x}_0}}(s) = \frac{\phi(s) \cdot G(s) - 1}{s^2}$$

$$H_{\frac{x-x_0}{\ddot{x}_0}}(s) = \frac{-1}{s^2 + \sqrt{2} \lambda^{\frac{1}{4}} s + \lambda^{-\frac{1}{2}}} \text{ d'où}$$

$$\Gamma_{x-x_0}^2 = \bar{\sigma}_0^2 \cdot \frac{1}{2\pi i} \int_{-\infty}^{+\infty} \frac{1}{(\lambda^2 + \sqrt{2}\lambda^{3/4}\delta + \lambda^2)(\lambda^2 - \sqrt{2}\lambda^{3/4}\delta + \lambda^2)} d\lambda$$

$$\Gamma_{x-x_0}^2 = \bar{\sigma}_0^2 I_2^{(2)}$$

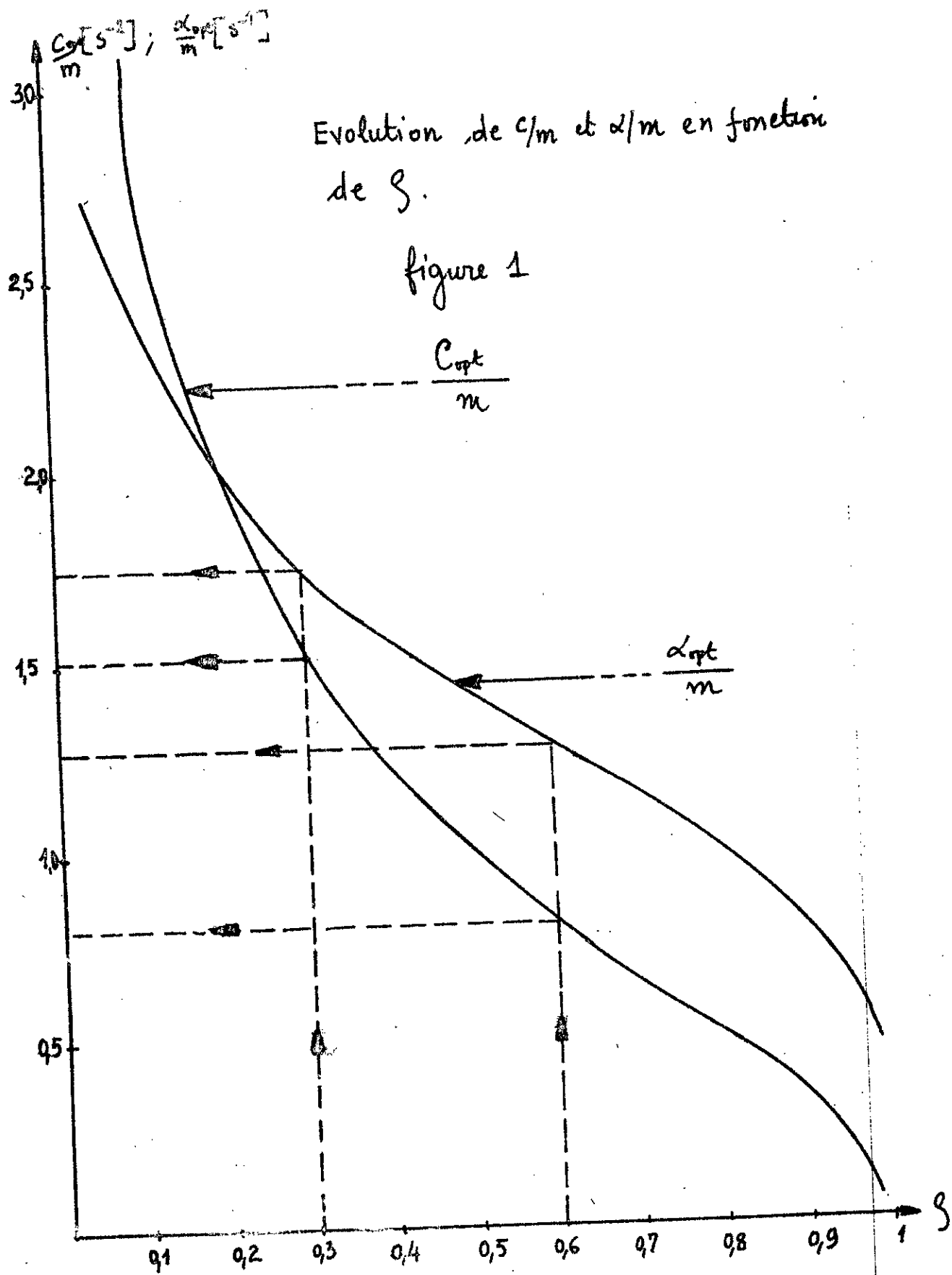
$$I_2^{(2)} (\text{table d'intégrale}) = \frac{1}{2\sqrt{2}\lambda^{-3/4}}, \text{ soit}$$

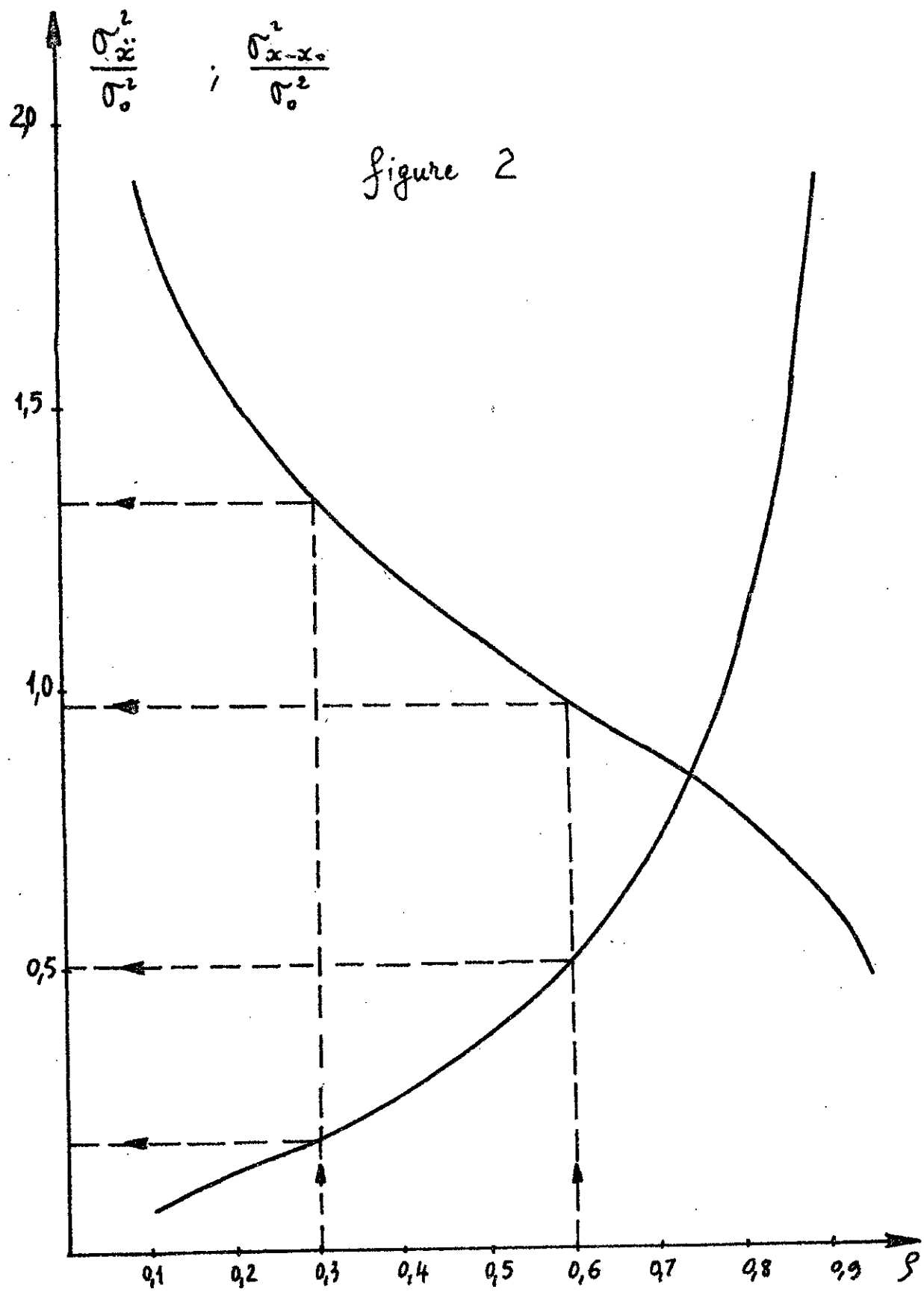
$$\Gamma_{x-x_0}^2 = \bar{\sigma}_0^2 \cdot \frac{1}{2\sqrt{2}} \lambda^{3/4}, \text{ on obtient}$$

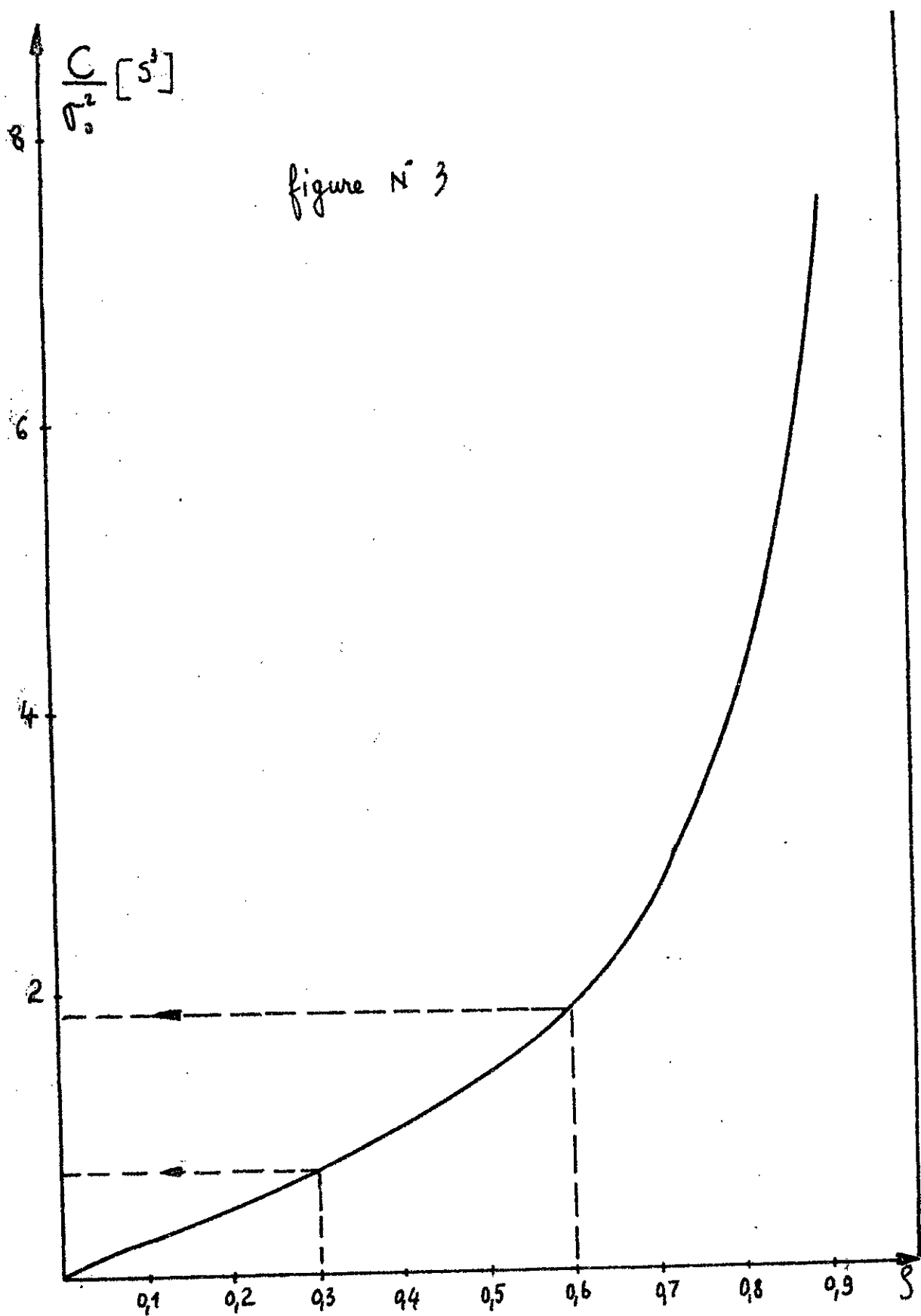
$$C_{WH} = \frac{\bar{\sigma}_0^2}{2\sqrt{2}} \lambda^{3/4} + \lambda \cdot \frac{3\bar{\sigma}_0^2}{2\sqrt{2}} \lambda^{-1/4} = \frac{2\bar{\sigma}_0^2 \lambda^{3/4}}{\sqrt{2}} = \sqrt{2} \bar{\sigma}_0^2 \lambda^{3/4}$$

2.3 Comparaison des résultats

On remarque que les fonctionnelles obtenues par la méthode de phillips (C_{PH}) et la méthode de Winer-hopf (C_{WH}) sont identiques. Cela implique que le système de vibro-isolation obtenu sur la base de critère de Winer-hopf n'est que le système de vibro-isolation à structure lourde (ressort, amortisseur) trouvé par la méthode de phillips.







3 Determination de c_{opt} et α_{opt}

3.1 Méthode de Phillips

a. Excitation de densité spectrale énergétique

$$S_{\ddot{x}_0} = \frac{\sigma_0^2 \omega^2}{\omega_0^2 - \beta^2}$$

Calcul de la dispersion de l'accélération

$$\sigma_{\ddot{x}}^2 = \frac{1}{2\pi j} \int_{-\infty}^{+\infty} |H_{\frac{\ddot{x}}{x_0}}(s)|^2 S_{\ddot{x}_0}(s) ds =$$

avec $H_{\frac{\ddot{x}}{x_0}}(s) = \frac{\alpha s + C}{m s^2 + \alpha s + C}$ d'où

$$\sigma_{\ddot{x}}^2 = \frac{1}{2\pi j} \int_{-\infty}^{+\infty} \frac{\alpha s + C}{(m s^2 + \alpha s + C)} \cdot \frac{-\alpha s + C}{(m s^2 - \alpha s + C)} \cdot \frac{1}{(\omega_0 + s)} \cdot \frac{1}{(\omega_0 - s)} ds$$

$$\sigma_{\ddot{x}}^2 = \frac{1}{2\pi j} \int_{-\infty}^{+\infty} \frac{\alpha s + C}{m s^3 + (m\omega_0 + \alpha)s^2 + (\alpha\omega_0 + C)s + c\omega_0} \cdot \frac{C(-s)}{d(-s)} ds$$

$$\sigma_{\ddot{x}}^2 = \sigma_0^2 \omega^2 I_3^{(1)}$$

$I_3^{(1)}$ étant égale après calcul sur table d'intégrale.

$$I_3^{(1)} = \frac{\alpha^2 C \omega_0 + C^2 m \omega_0 + C^2 \alpha}{2 \omega_0 C (m \alpha \omega_0^2 + \alpha^2 \omega_0 + C \alpha)} \text{ soit ;}$$

$$\sigma_{\ddot{x}}^2 = \sigma_0^2 \omega^2 \cdot \frac{\alpha^2 C \omega_0 + C^2 m \omega_0 + C^2 \alpha}{2 \omega_0 C (m \alpha \omega_0^2 + \alpha^2 \omega_0 + C \alpha)}$$

dispersion du déplacement relatif,

$$\sigma_{x-x_0}^2 = \frac{1}{2\pi j} \cdot \int_{-\infty}^{+\infty} \left| H_{\frac{x-x_0}{\dot{x}_0}}(s) \right|^2 S_{\ddot{x}_0} ds ; \text{ avec}$$

$$H_{\frac{x-x_0}{\dot{x}_0}}(s) = \frac{-m}{m s^2 + d s + c} ; H_{\frac{x-x_0}{\dot{x}_0}}(-s) = \frac{-m}{m s^2 - d s + c}$$

donc $\sigma_{x-x_0}^2$ prend la forme suivante:

$$\sigma_{x-x_0}^2 = \Omega_0^2 \Delta^2 \cdot \frac{1}{2\pi j} \int_{-\infty}^{+\infty} \frac{-m}{(m s^2 + d s + c)(w_0 + s)} \cdot \frac{-m}{(m s^2 - d s + c)(w_0 - s)} ds$$

$$\sigma_{x-x_0}^2 = \Omega_0^2 \Delta^2 m^2 \cdot I_3^{(2)}$$

$I_3^{(2)}$ étant égale après calcul sur la table d'intégrale:

$$I_3^{(2)} = \frac{m w_0 + \alpha}{2 w_0 c (m \alpha w_0^2 + \alpha^2 w_0 + c \alpha)} \quad \text{soit}$$

$$\sigma_{x-x_0}^2 = \Omega_0^2 \Delta^2 m^2 \frac{m(w_0 + \alpha)}{2 w_0 c (m \alpha w_0^2 + \alpha^2 w_0 + c \alpha)}$$

L'expression de la fonctionnelle sera donc:

$$C = \sigma_{x-x_0}^2 + \lambda \sigma_{\ddot{x}}^2 \quad \text{d'où}$$

$$C = \Omega_0^2 \Delta^2 \left\{ \frac{m^3 w_0 + m^2 \alpha}{2 c w_0^3 m \alpha + 2 c \alpha^2 w_0^2 + 2 c^2 \alpha w_0} + \lambda \frac{\alpha^2 c w_0 + c^2 m w_0 + c^2 \alpha}{2 c w_0^3 m \alpha + 2 c \alpha^2 w_0^2 + 2 c^2 \alpha w_0} \right\}$$

Par la suite, pour la détermination de α_{opt} et C_{opt} sur la base du critère de Phillips le calcul sera compliqué pour cela mettons la fonctionnelle.

C sous la forme suivante :

$$C = \tilde{\rho}_0^2 \Omega^2 \cdot \left(\frac{N_1(c, \alpha)}{D(c, \alpha)} + \lambda \cdot \frac{N_2(c, \alpha)}{D(c, \alpha)} \right)$$

le système suivant

$$\begin{cases} \frac{\partial C}{\partial c} = 0 & (1) \\ \frac{\partial C}{\partial \alpha} = 0 & (2) \end{cases}$$

qui nous permet de déterminer c_{opt} et α_{opt} peut se mettre sous la forme suivante :

$$\left(\frac{\partial N_1(c, \alpha)}{\partial c} + \lambda \frac{\partial N_2(c, \alpha)}{\partial c} \right) D(c, \alpha) - (N_1(c, \alpha) + \lambda N_2(c, \alpha)) \cdot \frac{\partial D(c, \alpha)}{\partial c} = 0$$

$$\left(\frac{\partial N_1(c, \alpha)}{\partial \alpha} + \lambda \frac{\partial N_2(c, \alpha)}{\partial \alpha} \right) D(c, \alpha) - (N_1(c, \alpha) + \lambda N_2(c, \alpha)) \cdot \frac{\partial D(c, \alpha)}{\partial \alpha} = 0$$

après calcul on trouve :

$$(1) : \lambda c (cm^2 \omega_0^4 + 2c \alpha m \omega_0^3) - m^2 (m^2 \omega_0^4 + 2m \omega_0^3 \alpha + \alpha^2 \omega_0^2 + 2m \omega_0^2 c + 2\alpha c \omega_0) = 0$$

$$(2) : m(-\alpha^2 - m^2 \omega_0^2 - 2m \alpha \omega_0 - cm) - \lambda c (\alpha^2 \omega_0^2 - c^2 - 2c \alpha \omega_0 - cm \omega_0^2) = 0$$

avec $c = m \omega_0^2$; $\alpha = 2m \omega_0 \eta$, on obtient

$$\{(2\eta^2 + 2\eta + 1) + \lambda \omega_0^4 (2\eta^2 - 2\eta - 1) = 0 \quad (3)$$

$$\{(4\eta^2 + 8\eta + 3) - \lambda \omega_0^4 (1 + 4\eta) = 0 \quad (4)$$

posons $x = \omega_0^4$ et $y = \eta$

(4) nous donne $x = \frac{4y^2 + 8y + 3}{\lambda(1+4y)}$; transportons, cette expression de x dans (3) on obtient:

$$-y^2 + 4y^3 + 2y^4 - 2y - 1 = 0$$

le seul paramètre physique qui vérifie, cette équation $y = 0,7840$; soit $\eta = 0,7840$

$$\omega_0^4 = \frac{2,836}{\lambda}$$

finalement on aura

$$C_{opt} = 1,6840m \lambda^{-1/2}; \quad \lambda = \frac{3}{1-g}; \quad g \in (0;1)$$

$$x_{opt} = 2,0349m \lambda^{-1/4}$$

C_{opt} et x_{opt} dépend de m et du multiplicateur de lagrange.

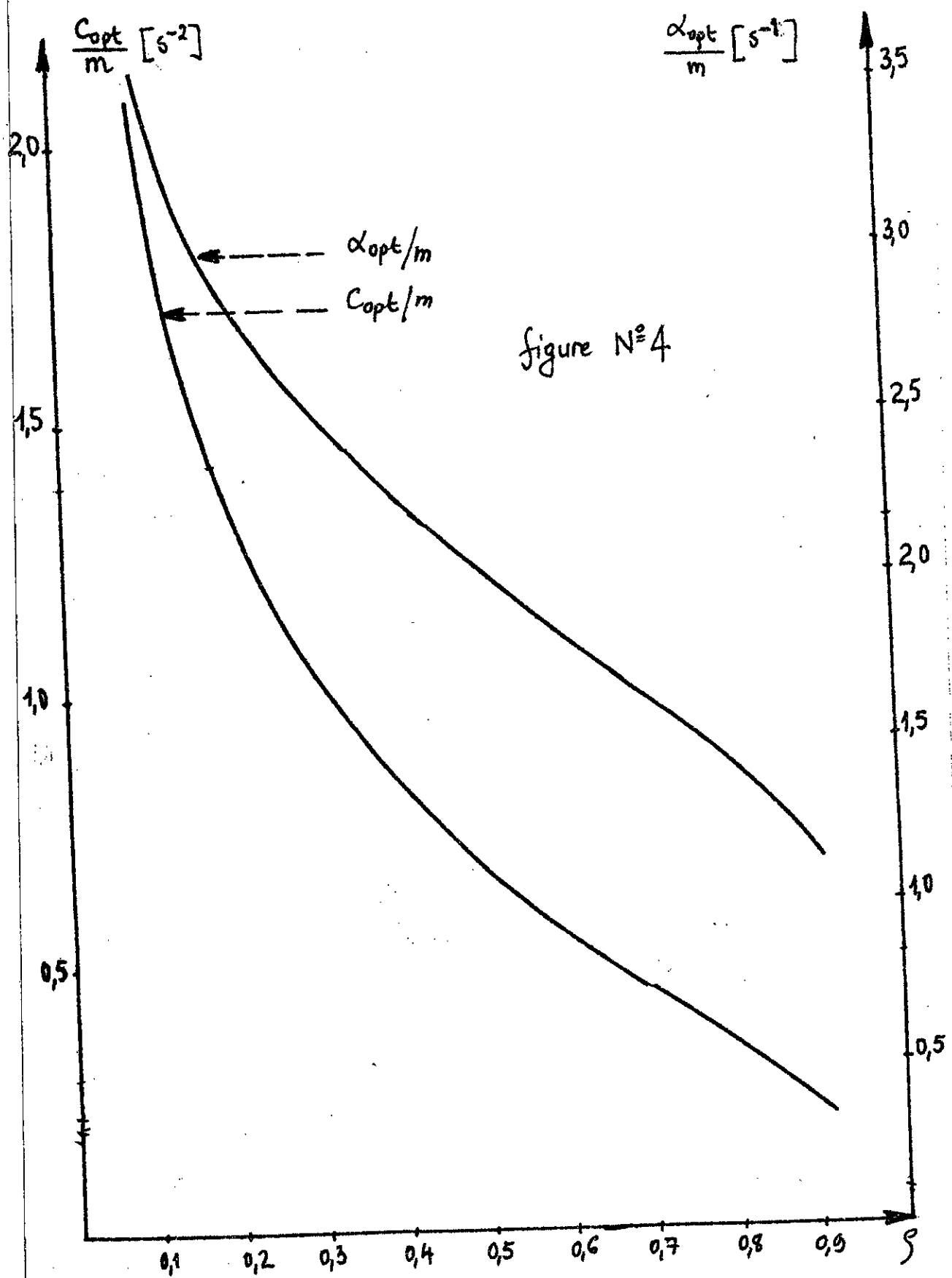
$$\sigma_{\tilde{x}}^2 = \tilde{\sigma}_0^2 \Omega^2 \cdot 0,3464 \lambda^{1/4}$$

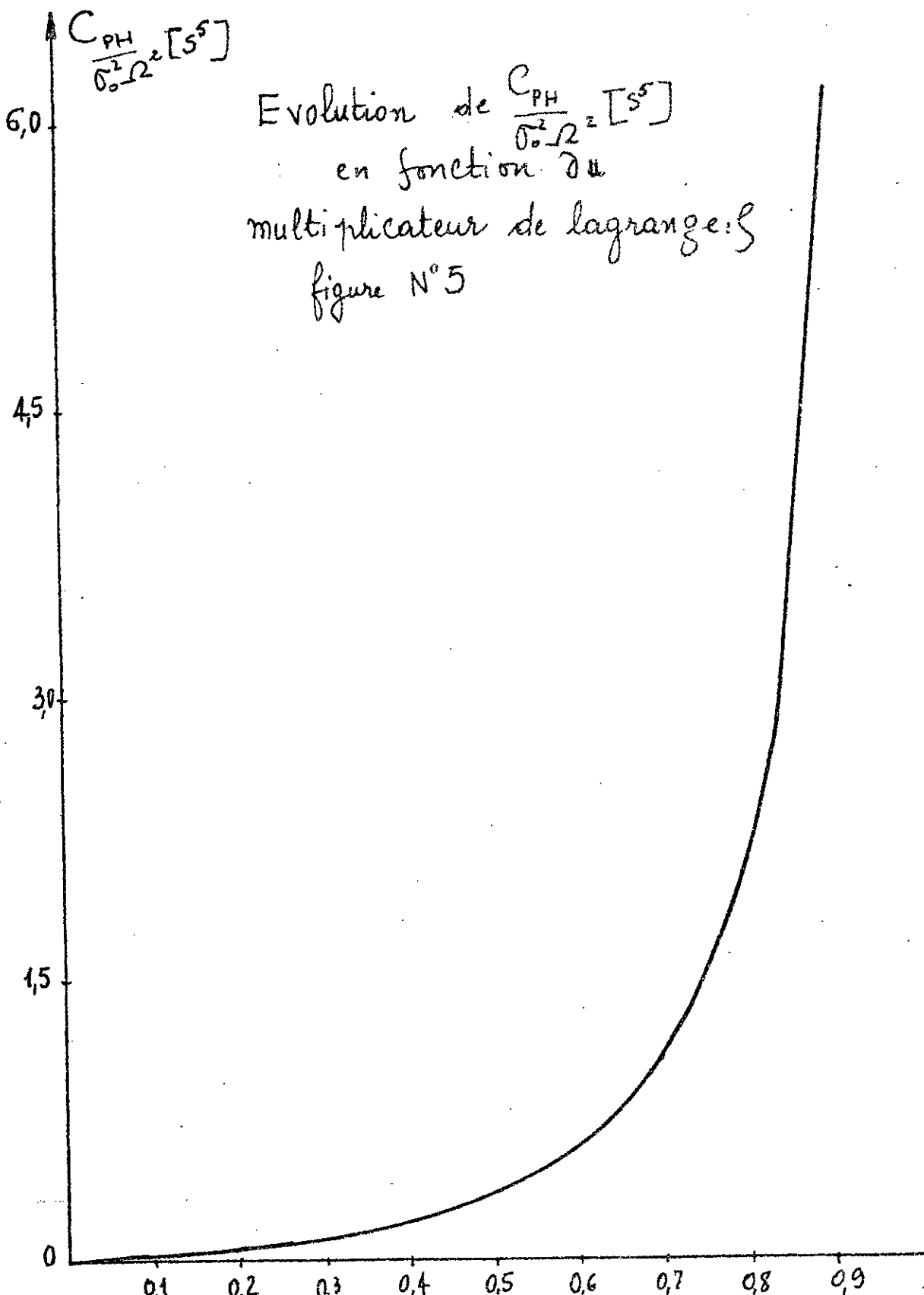
$$\sigma_{\tilde{x}-x_0}^2 = \tilde{\sigma}_0^2 \Omega^2 \cdot 0,0433 \lambda^{5/4}$$

la fonctionnelle sera donc :

$$C_{PH} = \tilde{\sigma}_0^2 \Omega^2 \left(0,0433 \lambda^{5/4} + \lambda \cdot 0,3464 \lambda^{1/4} \right)$$

$$C_{PH} = \tilde{\sigma}_0^2 \Omega^2 \cdot 0,3897 \lambda^{5/4}$$





4 Determination de la fonctionnelle C par la méthode de W.HOPF

Pour la méthode de Winer Hopf la fonction de transfert optimum du système de vibro-isolation est donné par l'expression suivante:

$$\phi(s) = \frac{1}{R(s) \cdot Q(s) \cdot G(s)} \cdot \left\{ \frac{Q(s)}{R(-s)} \right\}_+$$

la fonction de densité spectrale énergétique $S_{\ddot{x}_0}$ peut se mettre sous la forme suivante:

$$S_{\ddot{x}_0} = S_0^2 \cdot \Omega^2 \cdot s^4 \frac{1}{(\omega_0 + s) s^2} \cdot \frac{1}{(\omega_0 - s) s^2} = S_0 \cdot s^4 \cdot Q(s) Q(-s)$$

par identification on obtient:

$$S_0 = S_0^2 \cdot \Omega^2$$

$$Q(s) = \frac{1}{(\omega_0 + s) s^2} \Rightarrow Q(-s) = \frac{1}{(\omega_0 - s) s^2}$$

$R(s) \cdot R(-s) = 1 + \lambda s^4$; après calcul déjà fait avec

$R(s) \cdot R(-s) = (A s^2 + B s + C)(A s^2 - B s + C)$ on a obtenu

$$A = \sqrt{\lambda} \quad \text{et} \quad R(s) = \sqrt{\lambda} s^2 + \sqrt{2} \lambda s + 1$$

$$B = \sqrt{2} \sqrt{\lambda}$$

$$C = 1$$

la dispersion de l'accélération prend dans ce cas la forme suivante:

$$\tilde{\sigma}_{\ddot{x}}^2 = \frac{1}{2\pi j} \int_{-\infty}^{+\infty} \left| H_{\frac{\dot{x}_0}{x_0}}(s) \right|^2 S_{\ddot{x}_0}(s) ds$$

$$H_{\frac{\dot{x}_0}{x_0}}(s) = G(s) \cdot \phi(s) \cdot L_1(s)$$

$$G(s) = \frac{s^2}{L(s)} \quad \text{ou} \quad L(s) = \frac{\bar{F}(s)}{\bar{x}(s)} = ms^2 \quad \text{d'où} \quad G(s) = \frac{1}{m}$$

m = masse du corps à vibro-isolé

$$L_1(s) = 1 \quad \text{d'où} \quad H_{\frac{\dot{x}_0}{x_0}}(s) = \frac{1}{m} \cdot 1 \cdot \phi(s) = \frac{\phi(s)}{m}$$

$$\phi(s) = \frac{1}{(As^2 + Bs + C) \cdot \frac{1}{m} \cdot \frac{1}{(\omega_0 + s)s^2}} \cdot \left\{ \frac{\frac{1}{(\omega_0 + s)s^2}}{As^2 - Bs + C} \right\}_+$$

$$\text{Posons } M = \frac{1}{As^2 - Bs + C} = \frac{1}{(\omega_0 + s)s^2 \times (As^2 - Bs + C)} \quad (1)$$

$$M = \frac{Ds^2 + Es + F}{(\omega_0 + s)s^2} + \frac{Gs + H}{As^2 - Bs + C} \quad (2)$$

après identification: (1) = (2) on trouve le système suivant:

$$AD + G = 0$$

$$-BD + AE + G\omega_0 + H = 0$$

$$DC - BE + AF + H\omega_0 = 0$$

$$EC - BF = 0$$

$$FC = 1$$

après résolution de ce système on trouve :

$$H = \frac{\omega_0 \lambda}{\sqrt{2} \omega_0 \lambda^{1/4} + \omega_0^2 \lambda^{1/2} + 1} ; E = \sqrt{2} \lambda^{1/4}$$

$$D = \frac{\lambda^{1/2} + \sqrt{2} \omega_0 \lambda^{3/4}}{\sqrt{2} \lambda^{1/4} + \omega_0^2 \lambda^{1/2} + 1} ; F = 1 \quad \text{d'où}$$

$$M_+ = \frac{\lambda^{1/2} + \sqrt{2} \omega_0 \lambda^{3/4}}{\sqrt{2} \lambda^{1/4} + \omega_0^2 \lambda^{1/2} + 1} \beta^2 + \sqrt{2} \lambda^{1/4} \beta + 1$$

pour le deuxième terme $M_- = \frac{G_1 \beta + H}{A \beta^2 - B \beta + C}$, Ces pôles ne

verifient pas la condition de stabilité; c'est à dire qu'ils ne sont pas situés dans le demi plan complexe gauche. On ne le fait pas donc en considération.

$$\text{d'où: } \phi(\beta) = \frac{m(D\beta^2 + E\beta + F)}{A\beta^2 + B\beta + C}$$

tels que A, B, D et E sont connues en fonction du multiplicateur de lagrange λ ;

après avoir trouvé les trois fonctions $\phi(\beta)$, $G_1(\beta)$ et $H_1(\beta)$ l'expression de la fonction de transfert sera donc:

$$H_{\frac{x}{x_0}}(\beta) = \frac{D\beta^2 + E\beta + F}{A\beta^2 + B\beta + C}$$

la dispersion de l'accélération sera donc :

$$\tilde{\sigma}_{\ddot{x}}^2 = \tilde{\sigma}_0^2 \Omega^2 \frac{1}{2\pi j} \int_{-j\infty}^{j\infty} \frac{Ds^2 + Es + F}{As^2 + Bs + C} \cdot \frac{1}{(\omega_0 + s)} \frac{Ds^2 - Es + F}{As^2 - Bs + C} \cdot \frac{1}{\omega_0 - s} \cdot ds$$

$$\tilde{\sigma}_{\ddot{x}}^2 = \tilde{\sigma}_0^2 \Omega^2 \frac{1}{2\pi j} \int_{-j\infty}^{j\infty} \frac{Ds^2 + Es + F}{As^3 + (B + Aw_0)s^2 + (Bw_0 + C)s + Aw_0} \cdot \frac{G(-s)}{d(-s)} \cdot ds$$

$$\tilde{\sigma}_{\ddot{x}}^2 = \tilde{\sigma}_0^2 \Omega^2 \cdot I_3^{(1)}$$

$$I_3^{(1)} = \frac{C_2^2 d_0 d_1 + (C_1^2 - 2C_0 C_2) d_0 d_3 + C_0^2 d_2 d_3}{2 d_0 d_3 (-d_0 d_3 + d_1 d_2)}$$

$$\text{avec } C_0 = F; C_1 = E; C_2 = D;$$

$$d_0 = Cw_0; d_1 = Bw_0 + e; d_2 = Aw_0 + B; d_3 = A$$

après calcul on trouve l'intégrale $I_3^{(1)}$ sous la forme suivante :

$$I_3^{(1)} = \frac{D^2 B w_0^2 + (D^2 + AE^2 - 2AD + A^2) w_0 + AB}{2A^2 B w_0^3 + 2AB^2 w_0^2 + 2AB w_0}; \text{ soit}$$

$$\tilde{\sigma}_{\ddot{x}}^2 = \tilde{\sigma}_0^2 \Omega^2 \cdot \frac{D^2 B w_0^2 + (D^2 + AE^2 - 2AD + A^2) w_0 + AB}{2A^2 B w_0^3 + 2AB^2 w_0^2 + 2AB w_0}$$

Calcul de la dispersion du déplacement relatif

$$\tilde{\sigma}_{x-x_0}^2 = \frac{1}{2\pi j} \int_{-j\infty}^{j\infty} \left| H_{\frac{x-x_0}{\dot{x}_0}}(s) \right|^2 S_{\ddot{x}_0}(s) \cdot ds; \text{ avec}$$

$$H_{\frac{x-x_0}{\dot{x}_0}}(s) = \frac{1}{s^2} \left(H_{\frac{x}{\dot{x}_0}} - 1 \right) = \frac{1}{s^2} \left(\phi(s) \cdot G(s) \cdot L_1(s) - 1 \right)$$

$$H_{\frac{x-x_0}{\tilde{x}_0}}(s) = \frac{1}{s^2} \left(\phi(s) G(s) - 1 \right) = \frac{D-A}{As^2 + Bs + C}$$

$$\tilde{\sigma}_{x-x_0}^2 = \tilde{\sigma}_0^2 \Omega^2 \cdot \frac{1}{2\pi j} \int_{-j\infty}^{j\infty} \frac{D-A}{(As^2 + Bs + C)(w_0 + s)} \cdot \frac{G(-s)}{J(-s)} \cdot ds$$

$$\tilde{\sigma}_{x-x_0}^2 = \tilde{\sigma}_0^2 \Omega^2 \cdot \frac{1}{2\pi j} \int_{-j\infty}^{j\infty} \frac{D-A}{A s^3 + (Aw_0 + B)s^2 + (Bw_0 + C)s + Cw_0} \cdot \frac{G(-s)}{J(-s)} ds$$

$$\tilde{\sigma}_{x-x_0}^2 = \tilde{\sigma}_0^2 \Omega^2 I_3^{(2)}$$

la forme de l'expression de I_3 reste la même, ce qui change le dénominateur simplement, qui a pour coefficients :

$$C_0 = D-A ; \quad C_1 = 0 ; \quad C_2 = 0$$

d_0, d_1, d_2 et d_3 restent les mêmes d'où

$$I_3^{(2)} = \frac{(AD-A^2)^2 w_0 + (D-A)^2 AB}{2A^2 B w_0^3 + 2AB^2 w_0^2 + 2ABw_0} ; \text{ soit .}$$

$$\tilde{\sigma}_{x-x_0}^2 = \tilde{\sigma}_0^2 \Omega^2 \cdot \frac{(AD-A^2)^2 w_0 + (D-A)^2 AB}{2A^2 B w_0^3 + 2AB^2 w_0^2 + 2ABw_0} ;$$

l'expression globale de la fonctionnelle sera donc

$$C_{WH} = \tilde{\sigma}_0^2 \Omega^2 \cdot \frac{(AD-A^2)^2 w_0 + (D-A)^2 AB}{2A^2 B w_0^3 + 2AB^2 w_0^2 + 2ABw_0} + \lambda \frac{DBw_0^2 + (D^2 AE^2 - 2AD + A^2) w_0 + AB}{2A^2 B w_0^3 + 2AB^2 w_0^2 + 2ABw_0}$$

D [s²]

Evolution de D en fonction de S

figure N° 6

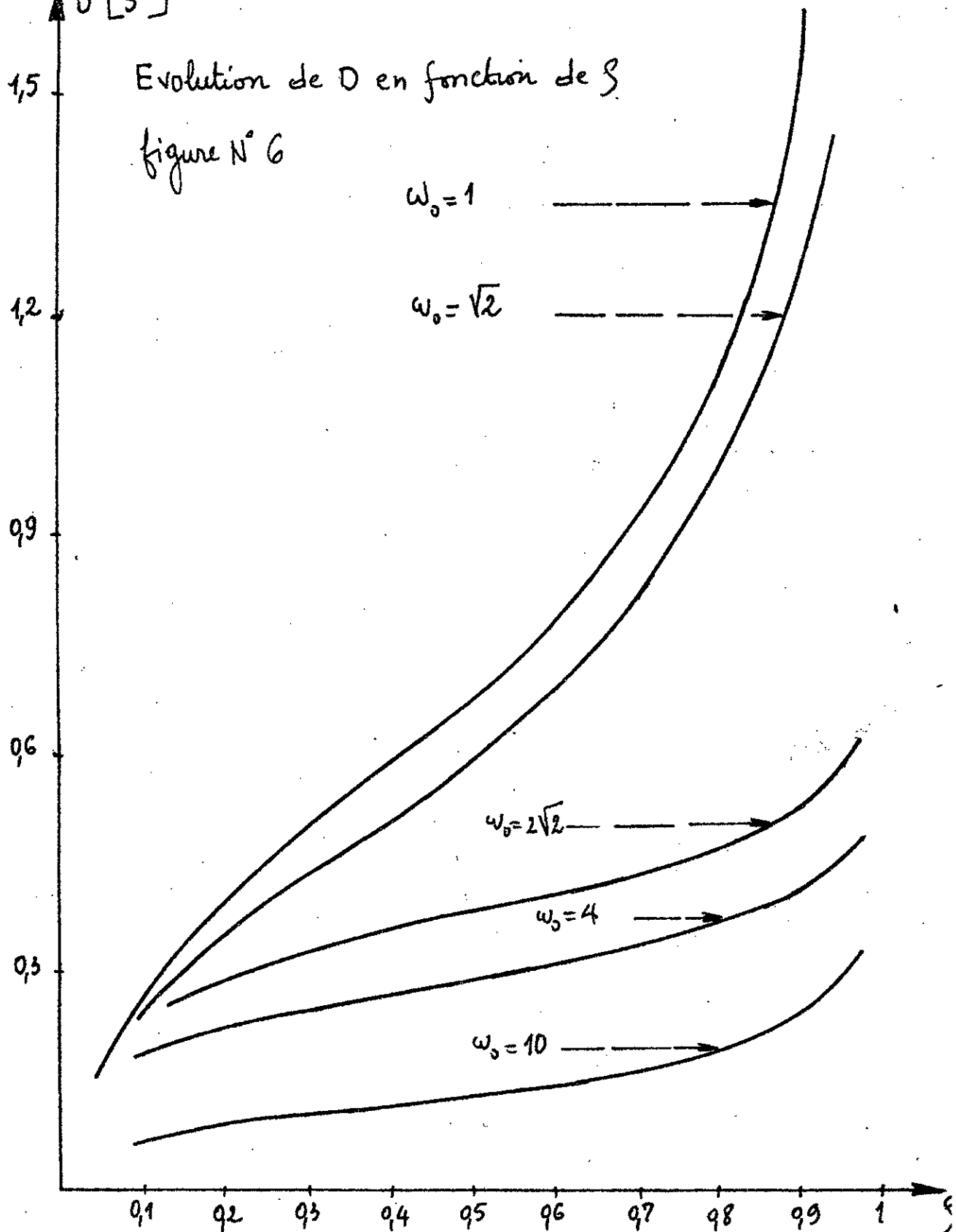
$$\omega_0 = 1$$

$$\omega_0 = \sqrt{2}$$

$$\omega_0 = 2\sqrt{2}$$

$$\omega_0 = 4$$

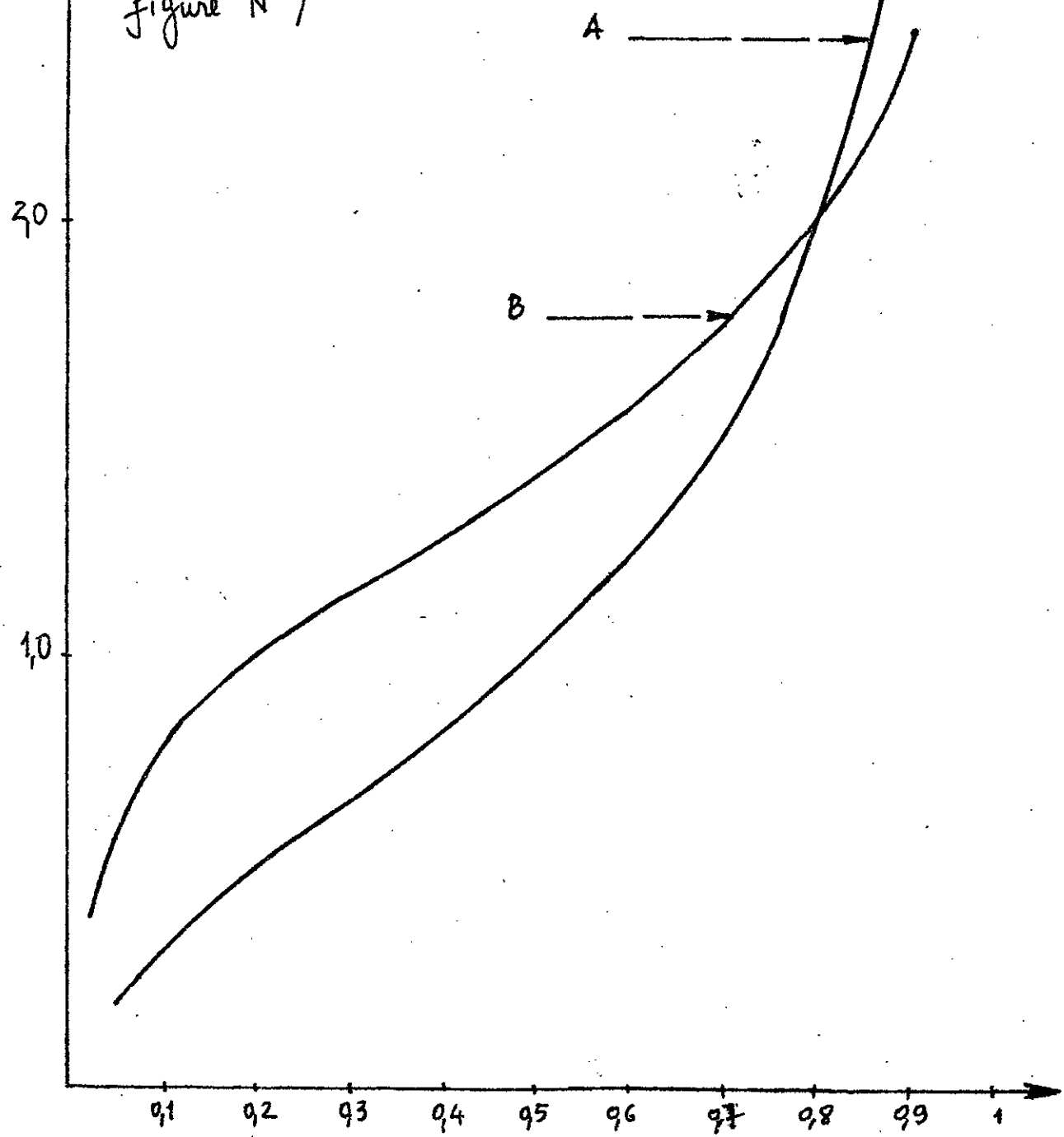
$$\omega_0 = 10$$



3,0 A, B ; A = [S²] ; B = [S]

Evolution de A et B en fonction de g

figure N° 7



Pour la même valeur de ω_0 trouvée précédemment, $\omega_0 = \sqrt{1,684} \lambda^{-1/4}$, on cherche la valeur de la fonctionnelle trouvée sur la base de W.Hopf après calcul des paramètres nécessaires constituant la fonctionnelle C on a trouvé :

$$C_{W.H} = 0,3307 \lambda^{5/4}$$

5 Comparaison des résultats

Pour avoir un système de vibro-isolation meilleur, c'est à dire un système qui obéit aux normes hygiéniques de confort et de sécurité, on fait appel à la minimisation de l'accélération et la limitation des déplacements relatifs et ceux ci s'explique par la minimisation de la fonctionnelle C ; on a trouvé :

$$C_{PH} = 0,3897 \lambda^{5/4}; C_{W.H} = 0,3307 \lambda^{5/4}$$

on prendra comme critère d'efficacité le rapport : $C_{W.H}/C_{PH}$ soit.

$C_{W.H}/C_{PH} = (0,3307/0,3897) = 0,848$, donc le système de vibro-isolation obtenu sur la base de Wiener Hopf est 15,2 % meilleur que le

système de vibro-isolation obtenu sur la base
de P.Hillips.

$C/5^2 \Omega^2$

5,0

Evolution de la fonctionnelle C
trouvée sur la base de
W. Hopf en fonction de β

4,0

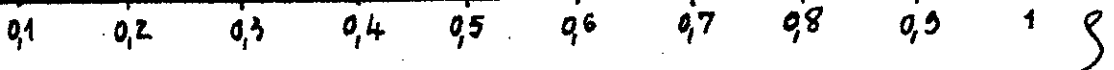
fig N° 8

3,0

2,0

1,0

0



6 Système de vibro-isolation actif

C'est un système d'isolation vibratoire, constitué par un ou plusieurs systèmes asservis ; toute fois les systèmes passifs peuvent y exister aussi.

L'alimentation en énergie est assurée par des sources extérieures indépendantes du système en vibration.

6.1 Exemples de s.v.actif

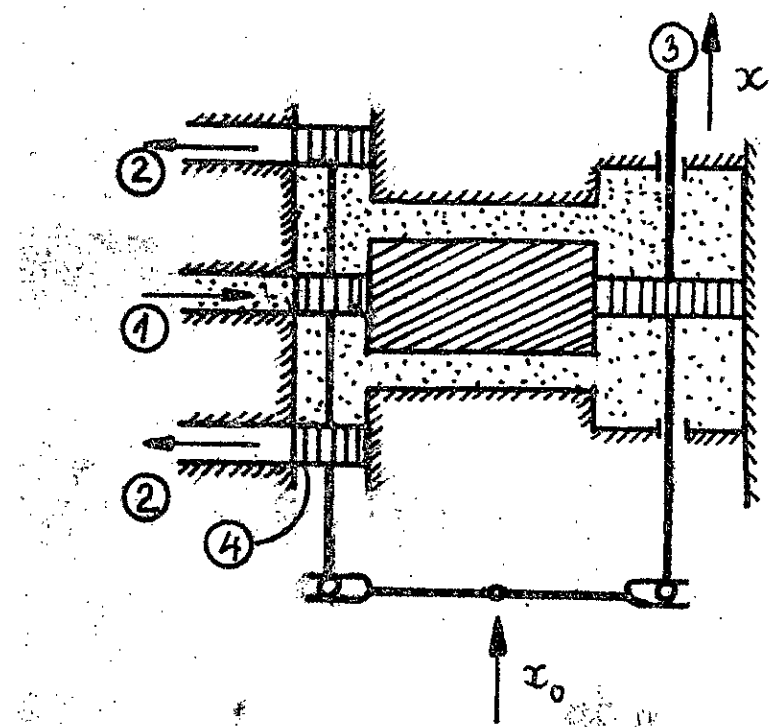


figure N° 8

les deux figures 2 et 9 représentent des exemples de système de vibro-isolation actif (SVA).

La figure N° 8 représente un amplificateur mécanique (continue)

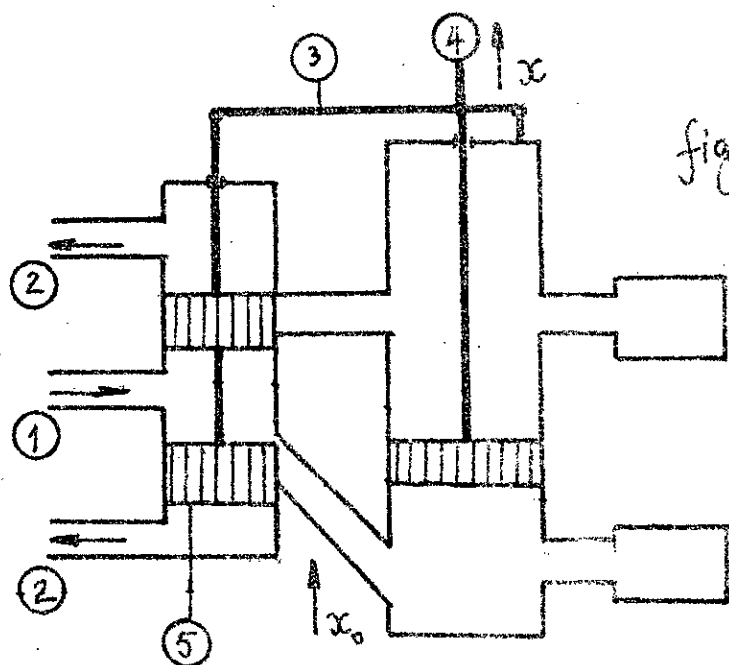


figure N°9

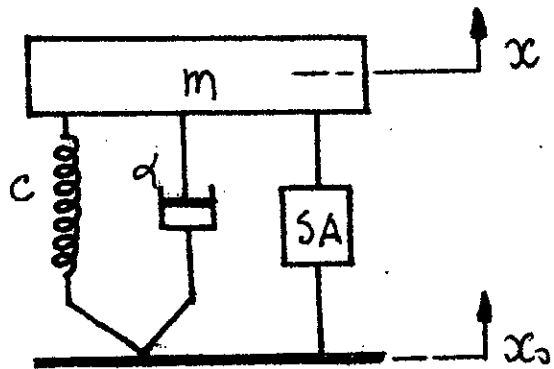
le mouvement de la servovalve ainsi que la grandeur d'entrée x_0 exige une petite force ; la force de sortie peut être grande si le supplément de pression est élevé.
pour les deux SVA le fluide utilisé peut être liquide ou gaz.

fig N°8 : 1: entrée du fluide ; 3: position du corps
2: sortie du fluide à vibro-isolé
4: servovalve

fig N°9 : 1: entrée du fluide
2: sortie du fluide
3: retour mécanique
4: position du corps à vibro-isolé.

6.1.1 Schéma bloc

dans le cas où le système de vibro-isolation actif existe notre système mécanique peut se mettre sous la forme suivante:



le schéma bloc du système en boucle fermée sera:

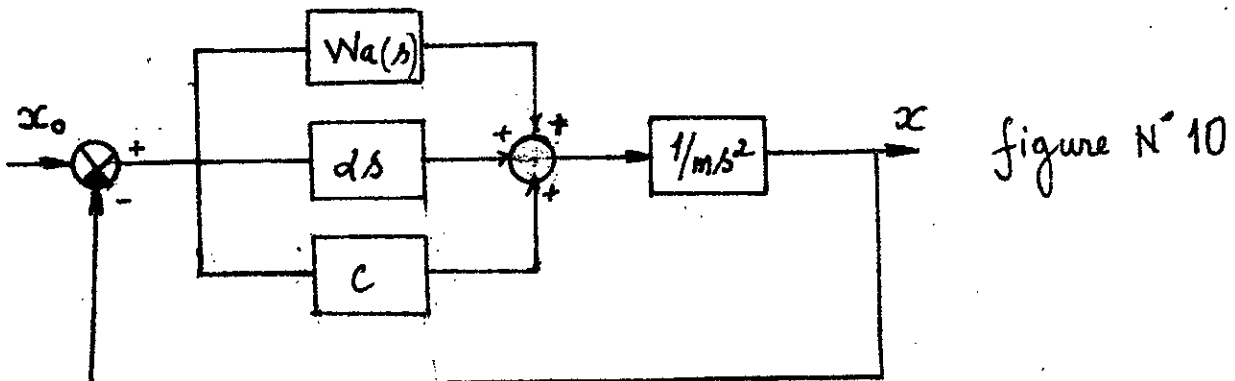


figure N° 10

$Wa(s)$: représente en général la fonction caractéristique du système de vibro-isolation actif

$Wa(s)$ peut se mettre sous la forme d'une fraction rationnelle, soit:

$$Wa(s) = \frac{b_0 + b_1 s + b_2 s^2 + \dots + b_m s^m}{a_0 + a_1 s + a_2 s^2 + \dots + a_n s^n} = \frac{N(s)}{D(s)}$$

Cette relation reste valable dans le cas où le système est initialement au repos : les conditions initiales à l'instant 0^- sont nulles.

$b_0, b_1, \dots, b_m; a_0, a_1, \dots, a_n$ sont des coefficients caractérisant les propriétés fondamentales du système de vibro-isolation actif.

Les systèmes physiques que l'on rencontre en pratique en particulier dans les asservissements sont souvent très complexes (les polynomes $N(s)$ et $D(s)$ ont des degrés élevés) ; le calcul complet de la réponse $x(t)$ n'est pas simple, et l'expression de $x(t)$ est difficile à exploiter.

Pour cela on prendra pour la suite des fonctions de transferts moins compliquées, pour qu'on puisse faire le calcul.

6.2 Problème de stabilité d'un sv

Pour déterminer la stabilité de notre système on applique la méthode de Routh ;

on applique le critère en se servant d'une table de Routh définie lorsque suit :

s^n .	a_n	a_{n-2}	a_{n-4}	...
s^{n-1} .	a_{n-1}	a_{n-3}	a_{n-5}	...
:	b_1	b_2	b_3	
:	c_1	c_2	c_3	...
:				

Où a_n, a_{n-1}, \dots sont les coefficients de l'équation caractéristique ; on poursuit la construction de la table, horizontalement et verticalement jusqu'à obtenir des zéros.

Toutes les racines de l'équation caractéristique ont leur partie réelle négative si et seulement si, les éléments de la première colonne de la table de Routh ont le signe positif.

$$b_1 = \frac{a_{n-1}a_{n-2} - a_n a_{n-3}}{a_{n-1}}, \quad b_2 = \frac{a_{n-1}a_{n-4} - a_n a_{n-5}}{a_{n-1}}$$

$$c_1 = \frac{b_1 a_{n-3} - a_{n-1} b_2}{b_1}, \quad c_2 = \frac{b_1 a_{n-5} - b_3 a_{n-1}}{b_1}$$

63 Calcul de la fonctionnelle : C_{Ach}

(dans le cas de système de vibro-isolation actif)

a) Excitation par un bruit blanc : $S_{\underline{x}_0} = \sigma_0^2 = \text{cte}$

le système de vibro-isolation actif dépend du déplacement relatif : $(x_0 - x)$.

la fonction de transfert globale du système de la figure N° 10 est :

$$H_{\frac{\underline{x}}{x_0}}(s) = \frac{(W_a(s) + d\beta + c)}{1 + (W_a(s) + d\beta + c) \frac{1}{m\beta^2}} = \frac{W_a(s) + d\beta + c}{m\beta^2 + W_a(s) + d\beta + c}$$

6.3.1 S.v.a (action proportionnelle)

la fonction de transfert $W_a(s)$ sera égale à $W_a(s) = K_0$

$$\text{d'où: } H_{\frac{x}{x_0}}(s) = \frac{\alpha s + C + K_0}{m s^2 + \alpha s + K_0 + C} \quad (1)$$

$$= \frac{b_0}{a_0}$$

Condition de stabilité suivant le critère de Routh, il faut que $K_0 + C > 0$

Pour comparer l'efficacité de vibro-isolation actif (passif compris) et le système de vibro-isolation passif, prenons les mêmes valeurs de C et α optimisées trouvées précédemment

Cas du bruit blanc $S_{\ddot{x}_0} = \sigma_0^2 = \text{cte}$

$$\text{on a trouvé } C_{\text{opt}} = \frac{m}{\sqrt{\lambda}}, \alpha_{\text{opt}} = \frac{m\sqrt{2}}{4\sqrt{\lambda}} ; \quad (2)$$

$$\text{la condition de stabilité devient: } \frac{K_0}{m} > -\frac{1}{\sqrt{\lambda}}$$

Sur la base (1) et (2) on aura, comme le cas d'un bruit blanc:

$$\frac{m}{\sqrt{\lambda}} = C + K_0$$

$$C = C_{\text{opt}} \Rightarrow K_0 = 0$$

$$C \neq C_{\text{opt}} \Rightarrow K_0 = \frac{b_0}{a_0} = \frac{1}{\sqrt{\lambda}} m - C$$

donc pour les valeurs de C et α optimisées trouvées sur la base de Wiener Hopf la fonction

$$C_A = C_{\text{W.H.}} = C_{\text{PH}} = 1,414 \sigma_0^2 \lambda^{3/4}$$

dans le cas où $C \neq C_{opt}$

$$\text{ora } K_{opt} = K_0 + C = \frac{m}{\sqrt{\lambda}} \text{ et } \alpha_{opt} = \sqrt{\frac{5}{2}} \cdot m \cdot \frac{1}{4\sqrt{\lambda}}$$

$$\text{la fonctionnelle } C_A = \sigma_{x-x_0}^2 + \lambda \sigma_x^2$$

$$\sigma_{x-x_0}^2 = \sigma_0^2 \cdot \frac{m^2}{2K_0} = \frac{\sigma_0^2}{4} \cdot \frac{\lambda^{3/4}}{\sqrt{\frac{5}{2}}}$$

$$\sigma_x^2 = \sigma_0^2 \cdot \frac{\alpha^2 + Km}{2dm} = \sigma_0^2 \cdot \frac{9}{4\sqrt{\frac{5}{2}}} \lambda^{-\frac{1}{4}} \quad \text{d'où}$$

$$C_A = \frac{5 \sigma_0^2}{2\sqrt{\frac{5}{2}}} \cdot \lambda^{3/4} = 1,581 \sigma_0^2 \lambda^{3/4}$$

6.3.2 Comparaison des résultats

la fonctionnelle trouvée sur la base de Wiener-Hopf

$$H_{WH} = \frac{2}{\sqrt{2}} \sigma_0^2 \lambda^{3/4} = H_{PH}$$

$$C_A = \frac{5 \sigma_0^2}{2\sqrt{\frac{5}{2}}} \lambda^{3/4}$$

$$\frac{C_{WH}}{C_A} = 0,894, \text{ ce rapport d'efficacité nous montre}$$

que le système de vibro-isolation obtenu par la méthode de Wiener Hopf est 10,6% meilleur que le système de vibro-isolation actif obtenu par la méthode Phillips.

6.3.3 S.v.actif (action intégrale)

La fonction de transfert du système de vibro-isolation actif sera égale à $W_a(s) = \frac{b_o}{a_1 s} = \frac{K_1}{s}$; d'où

$$H_{\frac{x}{x_o}}(s) = \frac{(ds + c + \frac{K_1}{s}) \cdot \frac{1}{ms^2}}{1 + (ds + c + \frac{K_1}{s}) \cdot \frac{1}{ms^2}} = \frac{ds^2 + cs + K_1}{ms^3 + ds^2 + cs + K_1}$$

Condition de stabilité suivant le critère de Routh :

$$\begin{cases} \frac{\alpha c - K_1 m}{\alpha} > 0 \\ K_1 > 0 \end{cases}, \text{ ce qui nous donne: } 0 < K_1 < \frac{\alpha c}{m}$$

pour les mêmes valeurs de c et α optimisées trouvées précédemment

Cas d'un bruit blanc $S_{\ddot{x}_o} = \tilde{\sigma}_o^2 = \text{cte}$

on aura donc $0 < K_1 < \sqrt{2} m \lambda^{3/4}$

Calcul de la dispersion de l'accélération:

$$\tilde{\sigma}_{\ddot{x}}^2 = \frac{\tilde{\sigma}_o^2}{2\pi f} \int_{-\infty}^{\infty} \left| H_{\frac{x}{x_o}}(s) \right|^2 ds = \frac{\tilde{\sigma}_o^2}{2\pi f} \int_{-\infty}^{\infty} \left| \frac{ds^2 + cs + K_1}{ms^3 + ds^2 + cs + K_1} \right|^2 ds$$

$$\tilde{\sigma}_{\ddot{x}}^2 = \tilde{\sigma}_o^2 \cdot I_3^{(1)}$$

$$I_3^{(1)} = \frac{\alpha^2 c + mc^2 - K_1 \alpha m}{2m(c\alpha - mK_1)} ; \text{ d'où } \tilde{\sigma}_{\ddot{x}}^2 = \tilde{\sigma}_o^2 \cdot \frac{\alpha^2 c + mc^2 - K_1 \alpha m}{2m(c\alpha - mK_1)}$$

Calcul de la dispersion du déplacement relatif:

$$\frac{\sigma^2}{x-x_0} = \frac{\sigma_0^2}{2\pi j} \int_{-\infty}^{+\infty} \left| H_{\frac{x-x_0}{\sigma}}(s) \right|^2 ds$$

$$H_{\frac{x-x_0}{\sigma}}(s) = \frac{-ms}{m\beta^3 + d\beta^2 + Cs + K_1}; \text{ d'où}$$

$$\frac{\sigma^2}{x-x_0} = \frac{\sigma_0^2}{2\pi j} \int_{-\infty}^{+\infty} \left| \frac{-ms}{m\beta^3 + d\beta^2 + Cs + K_1} \right|^2 ds = \sigma_0^2 \cdot I_3^{(2)}$$

$$I_3^{(2)} = \frac{m^3}{2m(Cd - K_1 m)} \quad (\text{table d'intégrale});$$

la fonctionnelle $C = \frac{\sigma^2}{x-x_0} + \lambda \frac{\sigma^2}{\dot{x}}$ délivrent :

$$C_A = \frac{\sigma_0^2}{2mc\alpha - 2b_0 m^2} + \lambda \frac{\alpha^2 C + mc^2 - K_1 dm}{2mc\alpha - 2b_0 m^2}$$

pour les mêmes de C et α optimisées.

$$C_{opt} = \frac{m}{\sqrt{\lambda}} \quad \text{et} \quad \alpha_{opt} = \frac{m\sqrt{2}}{\sqrt[4]{\lambda}}$$

la $\frac{\partial C_A}{\partial K_1} = 0$ nous donne $K_1 = 0$;

$$\frac{\partial K_1}{\partial \alpha}$$

d'où la fonction de transfert,

$W_A(s) = 0$; et par conséquent le système actif n'a aucune influence sur l'isolation vibratoire; ce qui explique que le système de intro-isolation trouvé sur la base de Wiener Hopf est toujours meilleur (efficace) pour

l'isolation vibratoire.

6.4 Influence de la fonction de transfert

$$W_d(s)$$

a : Excitation ayant pour fonction de densité spectrale énergétique $S_{\ddot{x}_0} = \frac{C_0}{m} \Omega^2 / (\omega_0^2 - s^2)$

6.4.1 S.v.actif (action proportionnelle)

la fonction de transfert $W_a(s) = \frac{b_0}{a_0} = K_0$.

$$\text{d'où } H(s) = \frac{d_0 s + C_0 + K_0}{m s^2 + d_0 s + C_0 + K_0}$$

Tenant toujours de la condition de stabilité du système : $K_0 + C > 0 ; K_0 > 1,684 m \lambda^{-\frac{1}{2}}$

la fonctionnelle trouvée sur la base de Phillips pour la même excitation elle est égale :

$$C = \frac{\tilde{b}_0 \Omega^2}{P_H 2} \frac{m^2 (m \omega_0 + \alpha)}{\left(C^2 \alpha \omega_0 + C (\alpha^2 \omega_0^2 + \alpha m \omega_0^3) \right)} + \lambda \frac{C^2 (\alpha + m \omega_0) + C \alpha^2 \omega_0}{\left(C^2 \alpha \omega_0 + C (\alpha^2 \omega_0^2 + \alpha m \omega_0^3) \right)}$$

En présence du système de vibro isolation actif la fonctionnelle prend la forme suivante :

$$C = \frac{\tilde{b}_0 \Omega^2}{A} \frac{m^2 (m \omega_0 + \alpha)}{\left((K_0 + C)^2 \alpha \omega_0 + (K_0 + C) (\alpha^2 \omega_0^2 + \alpha m \omega_0^3) \right)} + \lambda \frac{(K_0 + C)^2 (\alpha + m \omega_0) + (K_0 + C) \alpha^2 \omega_0}{\left((K_0 + C)^2 \alpha \omega_0 + (K_0 + C) (\alpha^2 \omega_0^2 + \alpha m \omega_0^3) \right)}$$

Pour les mêmes valeurs de C et α optimisées trouvées précédemment avec la même excitation, étudions la différence des fonctionnelles $C_A - C_{P_H}$

posons $f_1 = m\omega_0$; $f_2 = \omega_0^2$; $f_3 = \omega_0$; $f_4 = \alpha^2\omega_0$

$$C_A - C_{PH} = \frac{G_o^2 \Omega^2}{2} \left(\frac{N_1}{D} + \lambda \frac{N_2}{D} \right); \text{ avec}$$

$$N_1 = -f_1 f_3 m^2 K_o^2 - K_o (2f_1 f_3 m^2 c + f_1^2 f_2 m^2)$$

$$N_2 = f_1 (f_3 c^2 + f_1 f_2 c) K_o^2 + (c^2 f_3 + f_1 f_2 c) (2c f_1 + f_4) K_o - \\ - f_3 (f_1 c^2 + c f_4) K_o^2 - (f_1 c^2 + c f_4) (2c f_3 + f_1 f_2) K_o$$

$$D = (c^2 f_3 + f_1 f_2 c) (K_o^2 f_3 + c^2 f_3 + 2K_o c f_3 + f_1 f_2 K_o + f_1 f_2 c); \text{ soit}$$

$$C_A - C_{PH} = (K_o^2 A_o + K_o B_o) / D; \text{ avec}$$

$$A_o = -f_1 f_3 m^2 + \lambda (f_1 (c^2 f_3 + f_1 f_2 c) - (f_1 c^2 + f_4 c) f_3)$$

$$B_o = -2f_1 f_3 m^2 c - f_1^2 f_2 m^2 + \lambda ((c^2 f_3 + f_1 f_2 c) (2c f_1 + f_4) - \\ - (c^2 f_1 + c f_4) (2c f_3 + f_1 f_2))$$

Cherchons les valeurs de K_o/m pour lesquelles

$C_A - C_{PH} = 0$; on trouve:

$$K_o = A/B \quad \text{tel que:}$$

$$A = 2f_1 f_3 m^2 c + f_1^2 f_2 m + \lambda ((c^2 f_3 + f_1 f_2 c) (2c f_1 + f_4) - \\ - (c^2 f_1 + c f_4) (2c f_3 + f_1 f_2))$$

$$B = f_1 f_3 m^2 - \lambda (f_1 (c^2 f_3 + f_1 f_2 c) - f_3 (f_1 c^2 + f_4 c))$$

avec $c_{opt} = 1,684 \text{ m } \lambda^{-1/2}$
 $\omega_{opt} = 2,034 \text{ g m } \lambda^{-1/4}$ trouvées précédemment

On obtient :

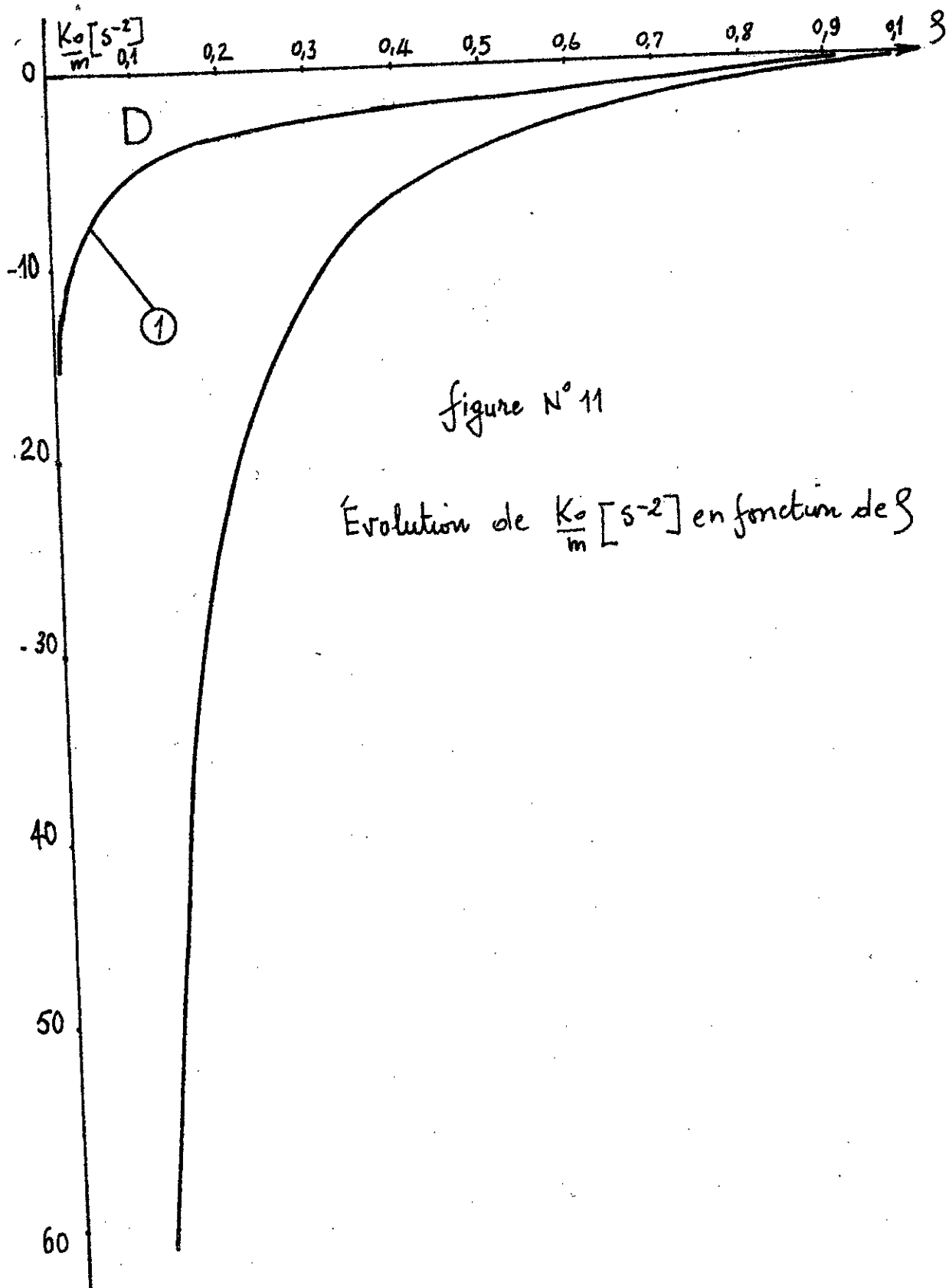
$$\frac{K_0}{m} = -\frac{2,156}{\sqrt{\lambda}} \left(1 + \frac{1}{\lambda}\right); \text{ avec } \lambda = \frac{\vartheta}{1-\vartheta}, \vartheta \text{ varie de 0 à 1}$$

Ce qui implique que λ varie de 0 à ∞

En tenant compte de la condition de stabilité du système ($\frac{K_0}{m}$ supérieur à tous les points appartenant à la courbe (1) de la figure N° 11), D représente les valeurs de $\frac{K_0}{m}$ pour lesquelles la fonctionnelle C_A trouvée en présence du système actif est supérieure à la fonctionnelle C_{PH} trouvée par la méthode de Phillips (avec les valeurs de cet optimisé) : $C_A > C_{PH}$.

C'est à dire que le système actif qui a pour action proportionnelle inverse ($K_0 < 0$), n'améliore pas l'isolation vibratoire ; et par conséquent le système de vibro-isolation trouvé sur la base de la méthode de Phillips pour le cas de l'excitation $S_{\ddot{x}_0} = \Omega^2 \cdot \omega^2 / (\omega^2 - \delta^2)$ est meilleur que le système de vibro-isolation en présence du système actif ayant l'action proportionnelle inverse.

60



6.4.2 S.v. actif (action intégrale pur)

la fonction de transfert $W_a(s) = \frac{b_0}{a_1 s} = \frac{k_1}{s}$; d'où

$$H_{\frac{x}{x_0}}(s) = \frac{\alpha s^2 + Cs + k_1}{m s^3 + \alpha s^2 + Cs + k_1} \text{ et } H_{\frac{x-x_0}{x_0}}(s) = \frac{-ms}{m s^3 + \alpha s^2 + Cs + k_1}$$

Condition de stabilité suivant le critère de Routh:

$$\begin{cases} \frac{\alpha c - k_1 m}{\alpha} > 0 \\ k_1 > 0 \end{cases}; \quad 0 < k_1 < \frac{\alpha c}{m}$$

pour $C_{opt} = 1,684 m \lambda^{-1/2}$; $\alpha_{opt} = 2,0349 m \lambda^{-1/4}$ on obtient:

$$0 < k_1 < 3,426 m \lambda^{-3/4}$$

Calcul de la dispersion de l'accélération:

$$\sigma_{\ddot{x}}^2 = \frac{1}{2\pi j} \int_{-\infty}^{+\infty} |H_{\frac{x}{x_0}}(s)|^2 S_{\frac{x}{x_0}}(s) ds = \frac{\Omega_0^2 \Omega^2}{2\pi j} \int_{-\infty}^{+\infty} \frac{G(s)}{J(s)} \cdot \frac{G(-s)}{J(-s)} ds$$

$$\sigma_{\ddot{x}}^2 = \frac{\Omega_0^2 \Omega^2}{2\pi j} \int_{-\infty}^{+\infty} \frac{\alpha s^2 + Cs + k_1}{(m s^3 + \alpha s^2 + Cs + k_1)} \cdot \frac{1}{(\omega_0 + s)} \frac{G(-s)}{J(-s)} ds$$

$$\sigma_{\ddot{x}}^2 = \frac{\Omega_0^2 \Omega^2}{2\pi j} \cdot \frac{1}{\int_{-\infty}^{+\infty} \frac{\alpha s^2 + Cs + b_0}{m s^4 + (m \omega_0 + \alpha) s^3 + (\alpha \omega_0 + C) s^2 + (C \omega_0 + k_1) s + k_1 \omega_0} ds}$$

$$\frac{G(-s)}{J(-s)} ds$$

$$\sigma_{\ddot{x}}^2 = \Omega_0^2 \Omega^2 \cdot I_4^{(1)}, \quad I_4^{(1)} = \frac{N_1}{D_1}, \quad \text{de la table}$$

d'intégrale on trouve:

$$N_1 = K_1 m (\alpha^2 \omega_0^2 c + \omega_0^2 m c^2 + \omega_0 c^2 \alpha - \alpha K_1 m \omega_0^2 - K_1^2 m + c \alpha K_1)$$

$$D_1 = 2\omega_0 (-K_1 m^2 \omega_0^3 + c \alpha m \omega_0^3 - \alpha K_1 m \omega_0^2 + c \alpha^2 \omega_0^2 + c^2 \alpha \omega_0 + \alpha K_1 c - m K_1^2)$$

Calcul de la dispersion de l'écart :

$$\sigma_{x-x_0}^2 = \frac{1}{2\pi j} \int_{-\infty}^{+\infty} |H_{x-x_0}(s)|^2 S_{x_0}(s) ds = \frac{\Omega^2}{2\pi j} \int_{-\infty}^{+\infty} \frac{-ms}{(m\beta^3 + d\beta^2 + c\lambda + K_1)(\omega_0 + s) J(-s)} \times \frac{d(-s)}{J(-s)} ds$$

$$\sigma_{x-x_0}^2 = \frac{\Omega^2}{2\pi j} \int_{-\infty}^{+\infty} \frac{-ms}{m\lambda^4 + (m\omega_0 + \alpha)\beta^3 + (\alpha\omega_0 + c)\beta^2 + (c\omega_0 + K_1)\beta + K_1\omega_0} \times \frac{d(-s)}{J(-s)} ds$$

$$\sigma_{x-x_0}^2 = \frac{\Omega^2}{2} I_4^{(2)} ; \quad I_4^{(2)} = \frac{N_2}{D_2} , \text{ de la table d'int-}$$

égrale on trouve : $N_2 = m\omega_0 (m^2 \omega_0 + m\alpha)$

$$D_2 = 2\omega_0 (-K_1 m^2 \omega_0^3 + c \alpha m \omega_0^3 - \alpha K_1 m \omega_0^2 + c \alpha^2 \omega_0^2 + c^2 \alpha \omega_0 + \alpha K_1 c - m K_1^2) = D_1$$

d'où la fonctionnelle :

$$C = \frac{\Omega^2}{2} \left(\frac{N_1}{D_1} + \lambda \frac{N_2}{D_2} \right) .$$

Pour la même excitation on a trouvé la fonctionnelle C_{PH} sans système actif égale à :

$$C_{PH} = \frac{\Omega^2}{2} \left(\frac{N_1^*}{D_1^*} + \lambda \frac{N_2^*}{D_2^*} \right) ;$$

$$N_1^* = m^2 (m\omega_0 + \alpha) ; \quad N_2^* = c^2 (\alpha + m\omega_0) + c\alpha^2 \omega_0$$

$$D_1^* = D_2^* = c^2 \alpha \omega_0 + c(\alpha^2 \omega_0^2 + \alpha m \omega_0^3)$$

étudions la différence $C_A - C_{PH}$:

$$\text{après calcul on trouve } C_A - C_{PH} = 5 \cdot 12^2 \left(\frac{N}{D} + \lambda \frac{N_0}{D} \right)$$

$$\text{avec } N = -m^2\omega_0(m\omega_0 + \alpha)(-\delta_0 m^2\omega_0^4 - \alpha K_1 m\omega_0^3 + \alpha K_1 c\omega_0 - m\omega_0 K_1^2)$$

$$N_0 = (C^2\omega_0^2 + C(\alpha^2\omega_0^3 + \alpha m\omega_0^4))(-\alpha K_1 m\omega_0^2 - K_1^2 m + C\alpha K_1) - (C\alpha^2\omega_0^2 + C^2\omega_0(\alpha + m\omega_0))(-K_1 m^2\omega_0^3 - \alpha K_1 m\omega_0^3 + \alpha K_1 c\omega_0 - m\omega_0 K_1^2)$$

$$D = D_1^2 \cdot D_2$$

Cherchons les valeurs de $\frac{K_0}{m}$ pour lesquelles $C_A = C_{PH}$

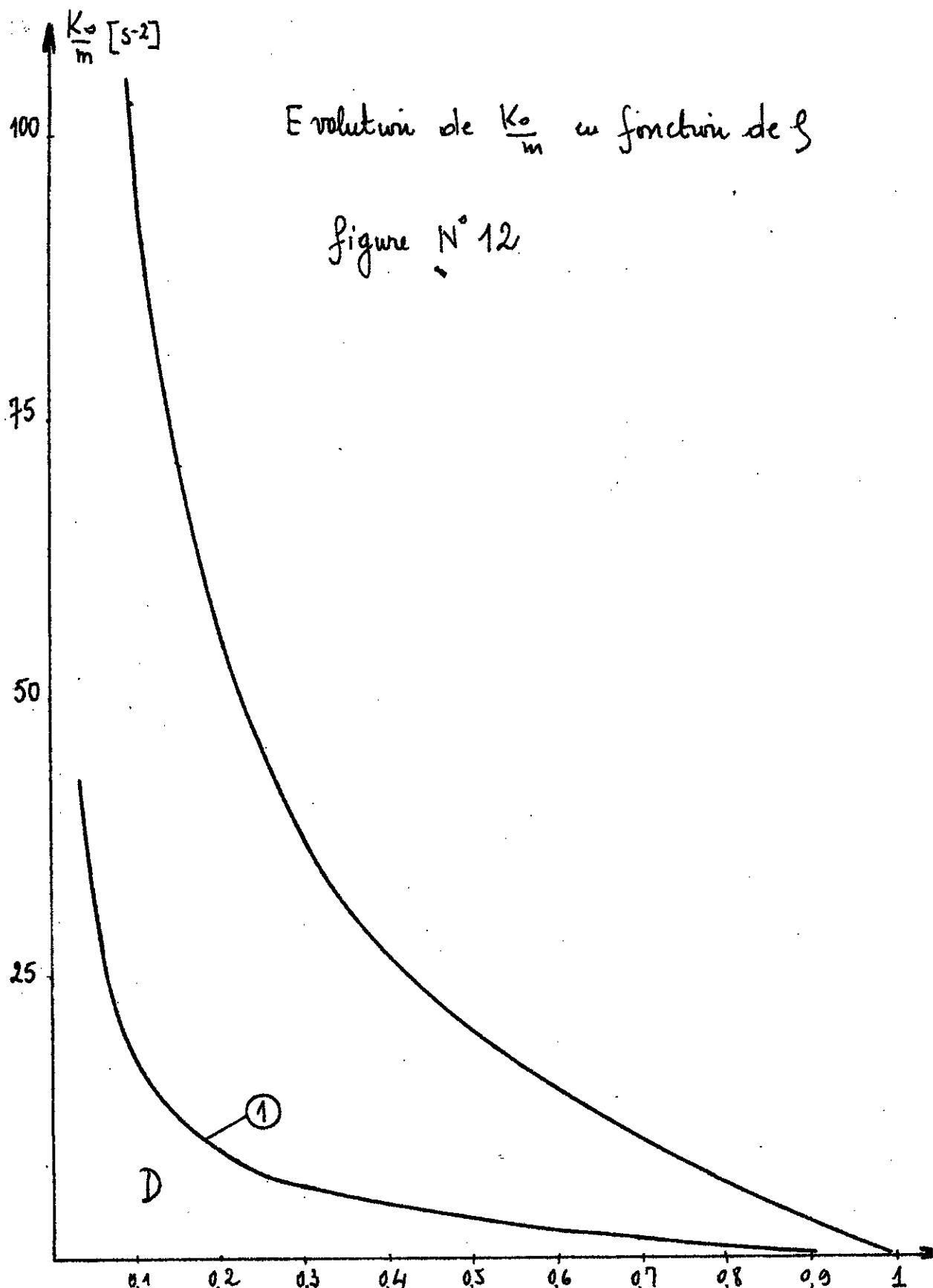
$$\text{et pour } C_{opt} = 1,684 \text{ m} \lambda^{\frac{1}{2}} \text{ et } d_{opt} = 2,0349 \text{ m} \lambda^{\frac{1}{4}}$$

$$\text{mais } \frac{K_0}{m} = 49,841 \lambda^{-3/4}$$

Sur la figure N° 11, D représente les valeurs acceptables de $\frac{K_0}{m}$ pour lesquelles on a la fonctionnelle C_A trouvée en présence du système actif inférieure à celle de C_{PH} trouvé sur la base du critère de Phillips: $C_A < C_{PH}$

Cela montre que le système actif qui a pour action intégrale, améliore l'isolation vibratoire, et par conséquent le système de vibro-isolation actif est meilleur que le système de vibro-isolation trouvé sur la base du critère de Phillips.

64



$$\tilde{\sigma}_{\dot{x}}^2 = \tilde{\sigma}_x^2 \Omega^2 \cdot \frac{1}{2\pi j} \int_{-j\infty}^{j\infty} \frac{G(s)}{J(s)} \frac{G(-s)}{J(-s)} ds$$

$$\frac{G(s)}{J(s)} = \frac{ds^2 + (\alpha + c)s + c + K_0}{(m s^3 + (m + \alpha)s^2 + (\alpha + c)s + c + K_0) \cdot (w_0 + s)}$$

d'où

$$\frac{G(s)}{J(s)} = \frac{ds^2 + (\alpha + c)s + c + K_0}{m s^4 + (m w_0 + m + \alpha)s^3 + (m w_0 + \alpha w_0 + \alpha + c)s^2 + (\alpha w_0 + c w_0 + c + K_0)s}$$

$$+ c w_0 + w_0 K_0$$

$$\tilde{\sigma}_{\dot{x}}^2 = \tilde{\sigma}_x^2 \Omega^2 I_4^{(4)}$$

à cause de la complexité des équations, concernant ce type de système de vibro-isolation, actif, on se limite seulement à un cas particulier, où le multiplicateur de lagrange $\lambda = 1$, ($\beta = 0,5$).

$$I_4^{(4)} = \frac{-m K_0^3 + 5,784 m^2 K_0^2 + 131,578 m^3 K_0 + 200,398 m^4}{-2,594 m K_0^3 - 15,310 m^2 K_0^2 + 325,018 m^3 K_0 + 934,938 m^4}$$

$I_4^{(4)}$ est tiré de la table d'intégrale

Calcul de la dispersion du déplacement relatif

$$\tilde{\sigma}_{x-x_0}^2 = \frac{1}{2\pi j} \int_{-j\infty}^{j\infty} \left| H_{\frac{x-x_0}{\dot{x}_0}}(s) \right|^2 S_{\dot{x}_0}(s) ds$$

$$\tilde{\sigma}_{x-x_0}^2 = \tilde{\sigma}_x^2 \Omega^2 \cdot \frac{1}{2\pi j} \int_{-j\infty}^{j\infty} \frac{G(s) \cdot G(-s)}{J(s) \cdot J(-s)} ds$$

$$\frac{G(s)}{J(s)} = \frac{-m s - m}{(m s^3 + (m + \alpha)s^2 + (\alpha + c)s + c + K_0)(w_0 + s)}$$

$$\frac{G(s)}{J(s)} = \frac{-m\beta - m}{m\beta^4 + (m\omega_0 + m + \alpha)\beta^3 + (m\omega_0^2 + \alpha\omega_0 + \alpha + c)\beta^2 + (\alpha\omega_0^2 + c\omega_0 + c + K_0)\beta +}$$

$$\tilde{\Omega}_{x-x_0}^2 = \tilde{\Omega}_0^2 \Omega^2 I_4^{(2)}$$

$I_4^{(2)}$ tiré de la table d'intégrale ; soit

$$I_4^{(2)} = \frac{4,618m^3K_0 + 36,106m^4}{-2,594mK_0^3 - 15,310m^2K_0^2 + 325,018m^3K_0 + 934,938m^4}$$

la fonctionnelle C est donnée par :

$$C = \tilde{\Omega}_{x-x_0}^2 + \lambda \tilde{\Omega}_{\dot{x}}^2 ; \text{ avec } \lambda = 1 ; \text{ on aura :}$$

$$C = \tilde{\Omega}_0^2 \Omega^2 \cdot \left(\frac{-mK_0^3 + 5,78m^2K_0^2 + 136,196m^3K_0 + 236,504m^4}{-2,954mK_0^3 - 15,310m^2K_0^2 + 325,018m^3K_0 + 934,938m^4} \right)$$

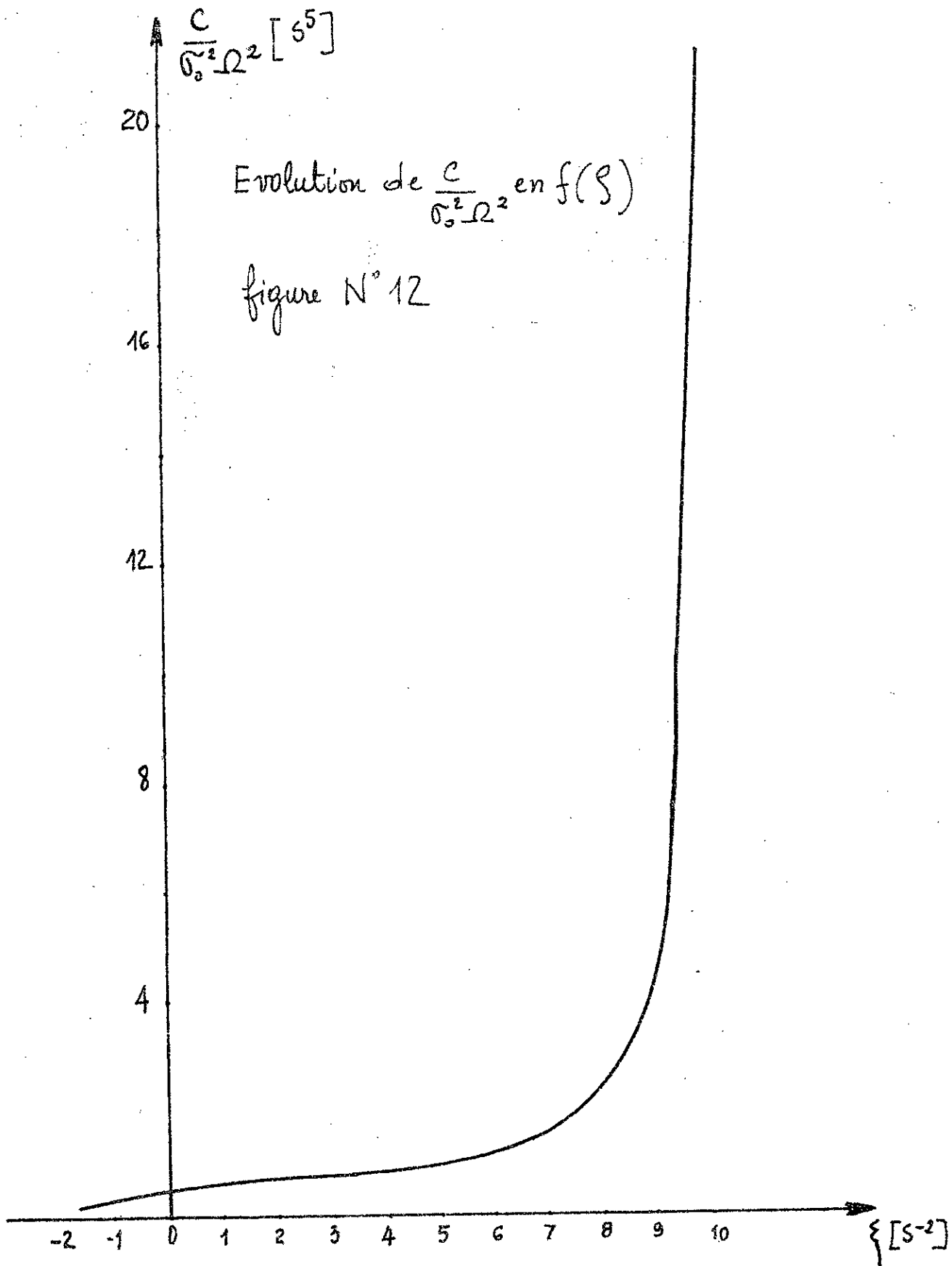
$$\xi = \frac{K_0}{m}$$

$$C = \tilde{\Omega}_0^2 \Omega^2 \cdot \left(\frac{-\xi^3 + 5,78\xi^2 + 136,196\xi + 236,504}{-2,954\xi^3 - 15,310\xi^2 + 325,018\xi + 934,938} \right)$$

avec :

$$-1,684 < \xi < 9,600$$

la fonctionnelle C dans le cas dépend de la masse m du corps à nbo-isolé et du paramètre K_0 de la fonction de transfert du système actif.



Commentaire :

Suivant les résultats obtenus ; on a pour :

$\xi \in (-1,68 \div 1,5)$, la fonctionnelle C_A varie de 0,096 jusqu'à 0,326.

Cela montre que pour cet intervalle de ξ notre système de vibro-isolation en présence du système actif est meilleur que les deux systèmes de vibro-isolation trouvés précédemment sur la base du critère de Phillips et Wiener Hopf.

$\xi > 1,5$ notre système de vibro-isolation ne connaît pas mieux pour l'isolation vibratoire que les deux premiers systèmes.

Exemple :

prenons une valeur de ξ qui obéit à la stabilité du système est plus proche du pratique, soit $\xi = 0,1$ d'où $C_A = 0,2586$; avec

$$C_{WH} = 0,3307$$

$$C_{PH} = 0,3897$$

Suivant le critère d'efficacité on a :

$$\frac{C_A}{C_{WH}} = \frac{0,2586}{0,3307} = 0,7819; \quad \frac{C_A}{C_{PH}} = \frac{0,2586}{0,3897} = 0,6635.$$

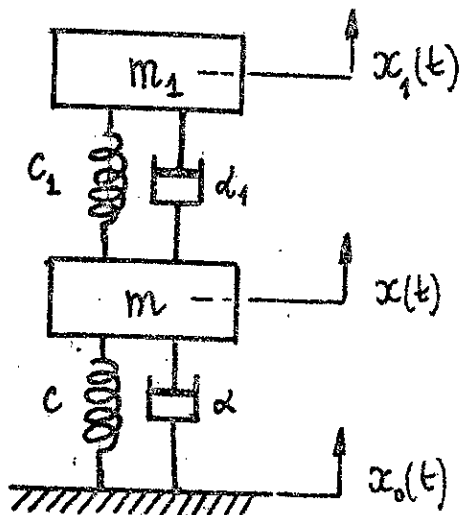
Ces deux rapports d'efficacité prouvent que:

Le système de vibro-isolation en présence du système actif est :

- 21,803 % meilleur que le système de vibro-isolation trouvé sur la base du critère de W. Hopf
- 33,650 % meilleur que le système de vibro-isolation trouvé sur la base du critère de Phillips.

V SYSTEME DE VIBRO ISOLATION POUR VIBRO-ISOLER UN SYSTEME DYNAMIQUE

1 Systeme de vibro isolation à structure connue



C'est un système passif constitué par un ressort de rigidité c_1 et un amortisseur caractérisé par la constante d_1
 m_1 = masse du corps à vibro-isoler

1.1 Relation entre c_{opt} , α_{opt} et m

m = modèle donné, représentant la masse du système de vibro-isolation.

Excitation par un bruit blanc : $S_{x_0} = \frac{\text{cte}}{\omega_0^2} = \sigma_0^2$

Determination de la dispersion de l'accélération et de l'écart :

La relation fondamentale de la dynamique pour ce système nous donne :

$$m_1 \ddot{x}_1 = -C_1(x_1 - x) - \alpha_1(\dot{x}_1 - \dot{x}) \quad (1)$$

$$m \ddot{x} = -C(x - x_0) - \alpha(\dot{x} - \dot{x}_0) + C_1(x_1 - x) + \alpha_1(\dot{x}_1 - \dot{x}) \quad (2)$$

après transformation de fourier ($\dot{x}(t) = j\omega x(j\omega)$), on a:

$$\text{de (1)}: \bar{x}_1(m_1 s^2 + C_1 + \alpha_1 s) = \bar{x}(C_1 + \alpha_1 s)$$

$$\text{de (2)}: \bar{x}(m s^2 + C + \alpha s + C_1 + \alpha_1 s) = \bar{x}_1(C_1 + \alpha_1 s) + \bar{x}_0(C + \alpha s)$$

Ce système d'équations nous donne :

$$H \frac{\bar{x}_1}{\bar{x}_0} = \frac{\bar{x}_1}{\bar{x}_0} = \frac{\alpha \alpha_1 s^2 + (C \alpha_1 + \alpha C_1) s + C C_1}{m_1 m s^4 + (d m_1 + m_1 \alpha_1 + \alpha_1 m) s^3 + (c m_1 + m_1 C_1 + m C_1 + \alpha \alpha_1) s^2 + (C m_1 + m_1 C_1 + m C_1 + \alpha \alpha_1) s + C C_1}$$

$$\tilde{\sigma}_{\ddot{x}_1}^2 = \frac{1}{2\pi j} \int_{-j\infty}^{j\infty} |H \frac{\bar{x}_1}{\bar{x}_0}(s)|^2 S_{\bar{x}_0}(s) ds = \tilde{\sigma}_0^2 \cdot \frac{1}{2\pi j} \int_{-j\infty}^{j\infty} \frac{G(s)}{J(s)} \cdot \frac{G(-s)}{J(-s)} ds$$

$$\tilde{\sigma}_{\ddot{x}}^2 = \tilde{\sigma}_0^2 \cdot I_4^{(1)} = \tilde{\sigma}_0^2 \cdot \frac{N_1}{D}$$

$$\frac{G(s)}{J(s)} = H \frac{\bar{x}_1}{\bar{x}_0}(s)$$

$$I_4^{(1)} = \frac{a_0^2 b_0 b_1 b_4 + (a_1^2 - 2a_0 a_2) b_0 b_3 b_4 + a_0^2 (-b_1 b_4^2 + b_2 b_3 b_4)}{2 b_0 b_4 (-b_0 b_3^2 - b_1^2 b_4 + b_1 b_2 b_3)}$$

$$\text{avec } a_0 = C C_1 \qquad b_0 = C C_1$$

$$a_1 = C \alpha_1 + \alpha C_1 \qquad b_1 = \alpha C_1 + C \alpha_1$$

$$a_2 = \alpha \alpha_1 \qquad b_2 = m C_1 + m_1 C_1 + \alpha \alpha_1 + m_1 C$$

$$a_3 = 0 \qquad b_3 = m \alpha_1 + \alpha_1 m_1 + \alpha m_1 ; b_4 = m m_1$$

$$D = 2CC_1mm_1 \left(((m\alpha_1 + d_1m_1) + \alpha'm_1) \cdot ((m\epsilon_1 + m_1c_1) + \alpha d_1 + m_1c) \cdot (dc_1 + c\alpha_2) - (dC_1 + C\alpha_1)^2 mm_1 - CC_1 \cdot ((m\alpha_1 + \alpha'm_1) + \alpha'm_1) \right)$$

$$D = m_1c_1^2(m+m_1)\alpha^2 + (\alpha_1^2C_1(m+m_1) + m_1^2C_1^2)\alpha^2 + m_1\alpha_1C_1\alpha^3 + \\ + (\alpha_1^3(m+m_1) - 2C_1\alpha_1mm_1)\alpha c + m_1\alpha_1^2C_1^2\alpha^2 + m_1^2\alpha_1^2C_1^2 + m_1^2\alpha_1^2C^2$$

$$N_1 = \alpha^2\alpha_1^2CC_1(m\alpha_1 + C\alpha_1)mm_1 + ((C\alpha_1 + \alpha C_1)^2 - 2C_1\alpha\alpha_1) \cdot \\ \cdot ((m\alpha_1 + d_1m_1) + \alpha'm_1)CC_1mm_1 + C_1^2C^2(-(C\alpha_1 + C\alpha_1)m^2m_1^2 + \\ + mm_1(m\epsilon_1 + m_1c_1 + \alpha d_1 + m_1c)(m\alpha_1 + \alpha_1m_1 + \alpha'm_1))$$

$$N_1 = (mm_1C_1^2\alpha_1^2 + mm_1^2C_1^3)C\alpha^3 + (mm_1C_1\alpha_1^3 + \alpha_1m_1^2mc_1^2)\alpha^2C^2 \\ + (mm_1C_1\alpha_1^3(m+m_1) + mm_1^3\alpha_1^2C_1^2)C^3 + (mm_1^2C_1\alpha_1^2 + mm_1^3C_1^2)\alpha C^3 \\ + (mm_1C_1^3\alpha_1(m+m_1))C\alpha^2 + mm_1C_1^3\alpha_1(m+m_1)^2C^2 + \\ + (mm_1\alpha_1^2C_1^2(m+m_1) + mm_1^3C_1^3)\alpha C^2$$

$$\tilde{\sigma}_{x-x_0}^2 = \tilde{\sigma}_0^2 \cdot \frac{1}{2\pi j} \int_{-j\infty}^{j\infty} \left| H_{\frac{x-x_0}{\tilde{x}_0}}(s) \right|^2 ds$$

$H_{\frac{x-x_0}{\tilde{x}_0}}(s) = \frac{1}{s^2} \left(H_{\frac{x}{\tilde{x}_0}} - 1 \right)$; on doit chercher la fonction de transfert $H_{\frac{x}{\tilde{x}_0}}$.

de l'expression (2) on obtient :

$$\tilde{x}(m\beta^2 + \alpha\beta + c + \alpha_1\beta + c_1) = \tilde{x}_0(\alpha\beta + c) + \tilde{x}_1(\alpha_1\beta + c_1). \quad (1^*)$$

de l'expression (1) on obtient :

$$x_1 = \tilde{x} \left(\frac{c_1 + \alpha_1\beta}{m_1\beta^2 + C_1 + \alpha_1\beta} \right); \quad (2^*)$$

la combinaison de (1*) et (2*) nous donne :

$$\frac{H_x(s)}{\tilde{x}_0} = \frac{m_1 d_1 b^3 + (m_1 c + d_1 m_1) b^2 (d_1 c + c_1 d_1) s + c c_1}{m m_1 b^4 + (d m_1 + d_1 m_1 + d_1 m) b^3 + (c m_1 + d_1 c_1 + C_1 m + C_1 m_1) b^2 + s (C_1 d + d_1 C_1) s + c c_1}$$

d'où :

$$\frac{H_{x-x_0}(s)}{\tilde{x}_0} = \frac{-m m_1 s^2 - (m d_1 + d_1 m_1) s - (c_1 m + C_1 m_1)}{m m_1 b^4 + (d m_1 + d_1 m_1 + d_1 m) b^3 + (c m_1 + d_1 c_1 + C_1 m + C_1 m_1) b^2 + (C_1 d + d_1 C_1) s + c c_1}$$

$$\sigma_{x-x_0}^2 = \tilde{\sigma}_0^2 \cdot \frac{1}{2\pi i} \int_{-\infty}^{\infty} \frac{G(s)}{J(s)} \cdot \frac{G(-s)}{J(-s)} ds$$

$$\sigma_{x-x_0}^2 = \tilde{\sigma}_0^2 I_4^{(2)} = \tilde{\sigma}_0^2 \cdot \frac{N_2}{D}$$

$$\frac{G(s)}{J(s)} = H_{\frac{x-x_0}{\tilde{x}_0}}$$

$$I_4^{(2)} = \frac{a_2^2 b_0 b_1 b_2 + (a_1^2 - 2a_0 a_2) b_0 b_3 b_2 + a_0^2 (-b_1 b_2^2 + b_2 b_3 b_4)}{2 b_0 b_4 (-b_0 b_3^2 - b_3^2 b_4 + b_1 b_2 b_3)}$$

avec

$$a_0 = -c_1(m+m_1); b_0, b_1, b_2, b_3 \text{ et } b_4 \text{ gardent les}$$

$a_1 = (m+m_1)d_1$ mêmes valeurs que le précédent.

$$a_2 = -m m_1$$

$$a_3 = 0$$

$$N_2 = m^2 m_1^2 m m_1 \cdot c c_1 (\alpha C_1 + C \alpha_1) + (a_1^2 (m+m_1)^2 - 2m m_1 + c_1 (m+m_1)) \cdot (m m_1 c c_1 (m d_1 + d_1 m_1 + d_1 m)) + C_1^2 (m+m_1)^2 \left(-(\alpha C_1 + C \alpha_1) m^2 m_1^2 + m m_1 \cdot (m C_1 + m_1 C_1 + d d_1 + m_1 C) (m d_1 + d_1 m_1 + d m_1) \right)$$

$$N_2 = (m m_1 \alpha_1^2 C_1^2 (m+m_1)^3 + C_1^3 m m_1^3 (m+m_1)^2) \alpha + C_1^2 \alpha_1 m_1^2 m (m+m_1)^2 \alpha^2 + m^3 m_1^3 C_1 \alpha_1 C^2 + m m_1 C^3 \alpha_1 (m+m_1)^4$$

\tilde{G}_x^2 et \tilde{G}_y^2 donnent l'expression de la fonctionnelle C .

$$C = \tilde{G}_{x-x_0}^2 + \lambda \tilde{G}_{y-y_0}^2 = G_0^2 \left(N_1 + \lambda \frac{N_2}{D} \right)$$

C_{opt} et D_{opt} seront déterminés de la manière suivante.

$$\left\{ \begin{array}{l} \frac{\partial C}{\partial c} = 0 \\ \end{array} \right. : \quad \left(\frac{\partial N_1}{\partial c} + \lambda \frac{\partial N_2}{\partial c} \right) D - (N_1 + \lambda N_2) \frac{\partial D}{\partial c} = 0, \quad (1)$$

$$\left\{ \begin{array}{l} \frac{\partial C}{\partial d} = 0 \\ \end{array} \right. : \quad \left(\frac{\partial N_1}{\partial d} + \lambda \frac{\partial N_2}{\partial d} \right) D - (N_1 + \lambda N_2) \frac{\partial D}{\partial d} = 0, \quad (2)$$

Pour simplifier le calcul, mettons N_1 , N_2 et D sous les formes suivantes:

$$N_1 = A_1 C \alpha^3 + A_2 \alpha^2 C^2 + A_3 C^3 + A_4 \alpha C^3 + A_5 C \alpha^2 + A_6 C^2 + A_7 \alpha C^2$$

$$D = B_1 \alpha + B_2 \alpha^2 + B_3 \alpha^3 + B_4 \alpha C + B_5 C \alpha^2 + B_6 C^2 + B_7 \alpha C^2$$

$$N_2 = C_1 C + C_2 \alpha C + C_3 \alpha^2 + C_4 \alpha^3 + C_5 C^2 + C_6$$

(1) :

$$\begin{aligned} & (2A_7 B_1 - \lambda C_2 B_1 - 2\lambda C_4 B_C + \lambda C_2 B_4 - 2\lambda C_3 B_7) \alpha^2 C + (A_1 B_1 - \\ & - \lambda C_4 B_5 + A_5 B_3 + \lambda C_2 B_3) \alpha^4 + (A_1 B_2 + A_5 B_3) \alpha^5 + A_1 B_3 \alpha^6 \\ & + (A_1 B_4 - A_1 B_1 - A_1 B_5 + 2A_2 B_2 + 2A_7 B_3 + A_5 B_5) C \alpha^4 + \\ & + 2A_2 B_3 C \alpha^5 + (A_7 B_5 - A_1 B_6 - A_2 B_1 + 3A_4 B_2 + 3A_3 B_3 + 2A_2 B_4 - \\ & - 2A_5 B_7 + 2A_6 B_3 - 2A_1 B_5) C^2 \alpha^3 + (A_2 B_5 - A_1 B_7) C^2 \alpha^4 + \\ & + (2A_2 B_1 - A_5 B_1 - \lambda C_2 B_5 + 2A_7 B_2 + 2\lambda C_5 B_3 - 2\lambda C_4 B_7 + A_5 B_4 + \\ & + \lambda C_2 B_5 + A_5 B_7) C \alpha^2 + (3A_1 B_4 - A_4 B_1 - A_3 B_5 + 3A_3 B_5 + 2A_1 B_5) \alpha^2 C^3 + \\ & + (2A_2 B_3 - A_4 B_5 - 2A_3 B_3 + 3A_4 B_5) \alpha^3 C^2 + (3A_3 B_1 + A_6 B_1 - \lambda C_5 B_1 - \lambda C_2 B_6 + \\ & + 2\lambda C_4 B_6 - 2\lambda C_6 B_1 - 2C_4 B_6 - 2\lambda C_6 B_1 - 2\lambda C_2 B_6) C^3 \end{aligned}$$

$$\begin{aligned}
 & + (3A_2B_2 + 3A_4B_4 - A_2B_4 - \lambda C_5B_2 - A_6B_5 - 2A_6B_2 - 2A_5B_6 + 2A_2B_4 + 2\lambda C_5B_5 + \\
 & + A_8B_6 - \lambda C_2B_7) \alpha^4C^2 + (3A_4B_6 + 3A_3B_4 + A_8B_7 + 2A_6B_7) \alpha^4 + (3A_4 - 2A_4B_7) \alpha^4 \\
 & + (A_5B_4 - \lambda C_5B_5 + \lambda C_5B_2) \alpha^3 + (2A_6B_4 + 2A_2B_6 - 2A_6B_2) \alpha^3 + (2A_6B_6 + \\
 & + A_3B_6) \alpha^4 + (\lambda C_4B_7 - \lambda C_6B_1) \alpha + (\lambda C_4B_4 + \lambda C_2B_4 - \lambda C_3B_1 - \lambda C_2B_2) \alpha^2 + \\
 & + (\lambda C_4B_4 + 2\lambda C_5B_1 - \lambda C_1B_1 - 2\lambda C_6B_7) \alpha^3 - \lambda C_1B_6 \alpha^2 - 2A_6B_6 \alpha^3 = 0
 \end{aligned}$$

(2) :

$$\begin{aligned}
 & (2A_1B_1 - 2A_4B_2 - 2\lambda C_2B_3 - A_1B_4 - 2A_4B_5 - A_1B_7 - 3A_1B_3) C\alpha^3 + \\
 & + (A_2B_4 - -A_2B_2 - 3A_6B_3 - 3\lambda C_5B_3 + A_5B_4 + \lambda C_2B_5 - 2\lambda C_1B_5 \\
 & + \lambda C_4B_7) \alpha^4C^2 + (-2A_3B_2 - 2A_6B_5 - \lambda C_1B_7 + \lambda C_2B_7 + 2A_5B_6) \alpha^4C^3 \\
 & + (A_5B_4 - 2\lambda C_2B_2 + \lambda C_4B_4 - \lambda C_3B_5 - 3\lambda C_1B_3) \alpha^4C^3 + (\lambda C_5B_4 - \lambda C_5B_4 \\
 & - 2A_6B_2 - 2\lambda C_5B_2 - 2\lambda C_1B_5 + \lambda C_3B_2 + 2\lambda C_4B_6) \alpha^4C^2 + \\
 & + (-2\lambda C_6B_7 + \lambda C_4B_2) \alpha^4C - 2\lambda C_6B_2 + (\lambda C_4B_1 - \lambda C_3B_2 - 3\lambda C_5B_3) \alpha^4 \\
 & + (-A_2B_4 - \lambda C_5B_4 - A_6B_4 - \lambda C_1B_7 + \lambda C_2B_6) \alpha^3 + (-A_6B_1 - \lambda C_5B_4 - \\
 & - \lambda C_4B_3 - \lambda C_6B_2 + \lambda C_3B_6) \alpha^2 + (-\lambda C_4B_1 - \lambda C_6B_4) C + (3A_1B_3 - A_1B_3) C\alpha^4 \\
 & + (-2A_2B_3 + 3A_1B_4) C^2\alpha^3 + (-A_8B_2 - 3A_3B_3 + 2A_2B_4 + A_8B_5 - \\
 & - 2A_2B_2 - 2\lambda C_5B_5 + A_5B_3 + 3A_1B_6) \alpha^2C^3 - 2\lambda C_3B_3 \alpha^3 + 3A_1B_3 C\alpha^5 \\
 & + (-A_2B_3 + 3A_1B_5) C^2\alpha^4 / (2A_1B_3 + 3A_1B_2) \alpha^3C^3 - \lambda C_4B_3 \alpha^4 + (A_7B_6 - \\
 & - A_6B_7 - A_3B_4 - \lambda C_5B_7) \alpha^4 + (-2A_2B_5 + 2A_2B_6) \alpha^4C^4 + (-A_6B_5 + \\
 & + A_2B_7) \alpha^4C^4 + (A_6B_6 - A_3B_7) C^5 - 2\lambda C_4B_2 \alpha^3 - \lambda C_6B_1 = 0.
 \end{aligned}$$

Si on prend l'exemple d'un conducteur d'un véhicule, tel que le modèle dynamique l'est le fauteuil avec son système de vibro-isolation.

Le système à vibro-isoler a comme caractéristiques :

la masse $m_1 = 80,862 \text{ kg}$

le ressort $C_1 = 7951,05 \text{ kg/s}^2$

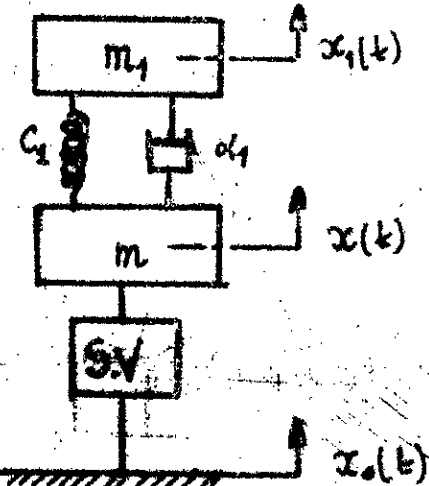
l'amortisseur $\alpha_1 = 141,638 \text{ kg/s}$

dans le cas C_{opt} et α_{opt} dépendent seulement de la masse m du modèle dynamique (fauteuil) et du multiplicateur de lagrange λ .

On remarque que la méthode de Phillips devient plus ambitieuse dès que le degré des équations en jeu s'élève, et par conséquent la détermination de C_{opt} et α_{opt} est fastidieuse.

Avec les mêmes données du système à vibro-isoler, on applique la Méthode de Wiener Hopf pour la détermination de la fonctionnelle C .

2 Système de vibro-isolation à structure inconnue (Méthode de Wiener Hopf)



la fonction de transfert optimum du système de vibro-isolation est donné par l'expression suivante :

$$\Phi(s) = \frac{Z(s)}{R(s) \cdot Q(s)} \left\{ \frac{\Psi(s)}{R(-s)} \right\}$$

$$R(s) \cdot R(-s) = 1 + \lambda s^4 L_1(s) L_1(-s), \quad L_1(s) = \frac{X_0(s)}{Z(s)} = \frac{d_1 s + C_1}{m_1 s^2 + d_1 s + C_1}$$

$$\text{d'où } R(s) \cdot R(-s) = 1 + \lambda s^4 \cdot \frac{d_1 s + C_1}{m_1 s^2 + d_1 s + C_1} \cdot \frac{-d_1 s + C_1}{m_1 s^2 - d_1 s + C_1} \quad \text{soit}$$

$$R(s) \cdot R(-s) = \frac{-\lambda d_1^2 s^6 + (m_1^2 + \lambda C_1^2) s^4 + (2m_1 C_1 - d_1^2) s^2 + C_1^2}{(m_1 s^2 + d_1 s + C_1)(m_1 s^2 - d_1 s + C_1)}, \quad \text{que}$$

l'on peut écrire sous la forme suivante :

$$R(s) \cdot R(-s) = \frac{A s^3 + B s^2 + D s + E}{(m_1 s^2 + d_1 s + C_1)} \cdot \frac{-A s^3 + B s^2 - D s + E}{(m_1 s^2 - d_1 s + C_1)}$$

après identification on trouve :

$$A = d_1 \sqrt{\lambda}$$

$$B^2 - 2d_1 \sqrt{\lambda} D = m_1^2 + \lambda C_1^2$$

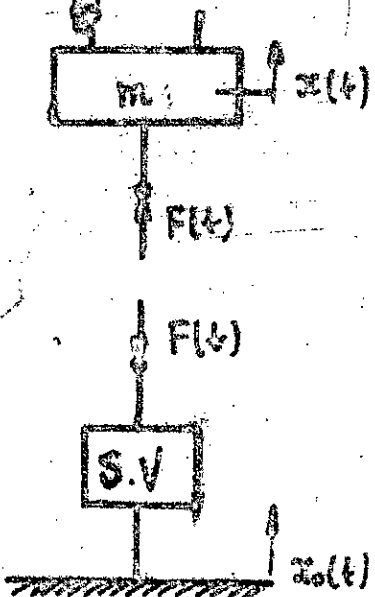
$$2B C_1 - D^2 = 2m_1 C_1 - d_1^2$$

$$E = C_1$$

$$\text{d'où } R(s) = \frac{(A s^3 + B s^2 + D s + E)}{(m_1 s^2 + d_1 s + C_1)}$$

Pour la détermination de l'impédance de déplacement $Z(s)$ on fait apparaître la force de liaison $F(t)$

Soit le schéma suivant :

$\ddot{x}_1(t)$ 

de ce système on peut écrire.

$$m_1 \ddot{x}_1 = F(t) + c_2(x_1 - x_2) + d_1(\dot{x}_1 - \dot{x}_2)$$

après transformées de laplace et fourier on aura :

$$\ddot{X}_1(s)(m_1 s^2 + d_1 s + C_1) = \ddot{X}_2(s)(d_1 s + C_2) + \tilde{F}(s) \quad (1)$$

pour la masse m_2 on peut écrire :

$$m_2 \ddot{x}_2 = -c_2(x_1 - x_2) - d_1(\dot{x}_1 - \dot{x}_2), \text{ après transformation}$$

$$\text{on obtient : } \frac{\ddot{X}_2(s)}{X_2(s)} = \frac{d_1 s + C_1}{m_2 s^2 + d_1 s + C_1} \quad (2)$$

(1) et (2) :

$$\frac{X_1(s)}{X_2(s)} = \frac{\tilde{F}(s)}{\ddot{X}_2(s)} = \frac{m_2 s^4 + (m_1 + m_2)s^3 + (m_1 + m_2)c_1 s^2}{m_2 s^2 + d_1 s + C_1}$$

avec $\phi(s) = \frac{\tilde{F}(s)}{\ddot{X}_2(s)}$; la fonction de transfert H_x est.

$$H_x(s) = \frac{m_2 s^2 + d_1 s + C_1}{(A s^3 + B s^2 + D s + E) + \phi(s) \left\{ \frac{R(-s)}{s} \right\}}$$

dans le cas d'une excitation par un bruit blanc,

$$\text{mais } C_0^2 = \rho^4 \cdot \pi^4 \cdot R^2 \cdot (B-1) \text{ ce qui donne } \phi(s) = \frac{1}{s^2}$$

$$\frac{C(s)}{R(-s)} = \frac{\frac{1}{s}se}{\frac{-As^3 - Bs^2 - Ds + E}{m_1 s^2 + d_1 s + C_1}} = M$$

tirons la partie ayant des pôles à gauche de l'axe imaginaire ou nuls. Soit $M_+ = \frac{F_+ s b_1}{s^2}$; après identification, on trouve : $\left\{ \begin{array}{l} G = \frac{C_1}{E} \\ F_+ = \frac{-d_1 E + C_1 D}{E^2} \end{array} \right.$, $M_+ = \frac{C_1 E + (d_1 E + C_1 D)s}{E^2 s^2}$

d'où :

$$H_{\frac{x_1}{z_0}}(s) = \frac{(m_1 s^2 + d_1 s + C_1)((C_1 D - d_1 E)s + C_1^2)}{(A s^3 + B s^2 + D s + E) E^2}$$

Calcul de la dispersion de l'accélération : $\sigma_{\ddot{x}_1}^2$,

$$\sigma_{\ddot{x}_1}^2 = \sigma_s^2 \cdot \frac{1}{2\pi j} \int_{-\infty}^{+\infty} |H_{\frac{x_1}{z_0}}(s)|^2 ds = \sigma_s^2 \cdot I_3^{(0)}$$

$$H_{\frac{x_1}{z_0}}(s) = \frac{d_1(-d_1 + C_1)((-d_1 C_1 + C_1 D)s + C_1^2)}{s^2 (A s^3 + B s^2 + D s + E)}$$

tiré de la relation suivante : $H_{\frac{x_1}{z_0}}(s) = H_{\frac{x_1}{z_0}}(s) \cdot H_{\frac{x_1}{z}}(s)$

avec $H_{\frac{x_1}{z}} = \frac{d_1 s + C_1}{m_1 s^2 + d_1 s + C_1}$

$$I_3^{(0)} = D(d_1(D-d_1))^2 + C_1^2 A(D^2 - 2d_1(D-d_1)) + C_1^3 A B$$

$$2AC_1^2 (DB - AC_1)$$

d'où $\sigma_{\ddot{x}_1}^2$

Calcul de la dispersion de déplacement relatif. $\sigma_{x-x_0}^2$.

$$\sigma_{x-x_0}^2 = \sigma_0^2 \cdot \frac{1}{2\pi f} \int_{-\infty}^{+\infty} \left| H(\omega) \right|^2 d\omega \propto \sigma_0^2 \cdot I_j^{(2)}, \text{ avec}$$

$$H(\omega) = \frac{(B(-d_1 E + d_1 D) - AE^2)B + (m_1 c_1 E + d_1 (-d_1 E + GD)^2 - BE^2)}{AE^2 B^2 + BE^2 A^2 + DE^2 B^2 + E^4},$$

$$\text{soit } I_j^{(2)} = \frac{(m_1(D-d_1) - d_1)^2 c_1 + ((m_1 - B)c_1 + d_1(D-d_1))^2 \cdot B}{2c_1^2 (DB - AC_1)}$$

$$\text{d'où } \sigma_{x-x_0}^2.$$

La détermination de la fonctionnelle C_j ($C = \sigma_{x-x_0}^2 + \lambda \sigma_{\dot{x}}^2$) nécessite, en premier lieu la résolution du système d'équations en A, B, D et E suivant :

$$A = d_1 \sqrt{\lambda}$$

$$B^2 - 2d_1 \sqrt{\lambda} D = m_1^2 + \lambda c_1^2, \quad (1)$$

$$2Bc_1 - D^2 = 2m_1 c_1 - d_1^2, \quad (2)$$

$$E = c_1$$

$$\text{avec } m_1 = 80,862 \text{ kg}$$

$$c_1 = 9964,05 \text{ kg/s}^2$$

$$d_1 = 144,688 \text{ kg/s}$$

$$(1) \text{ et } (2) : \quad \begin{cases} B^2 - 2d_1 \sqrt{\lambda} D - (m_1^2 + \lambda c_1^2) = 0 \\ 2Bc_1 - D^2 - (2m_1 c_1 - d_1^2) = 0 \end{cases}$$

$$\begin{pmatrix} 2Bc_1 - D^2 - (2m_1 c_1 - d_1^2) = 0 \\ 2Bc_1 - D^2 - (2m_1 c_1 - d_1^2) = 0 \end{pmatrix}$$

$$\begin{cases} B^2 - 2 \cdot 141,688 \sqrt{\lambda} D - ((80,862)^2 + \lambda \cdot (7961,05)^2) = 0 \\ 2 \cdot 7961,05 \cdot B - D^2 - (2 \cdot 80,862 \cdot 7961,05 - (141,688)^2) = 0 \end{cases}$$

la deuxième équation de ce système nous donne :

$$B = \frac{D^2 + 1267417,4}{15922,1}$$

la première équation devient donc :

$$D^4 + 2534834,8 D^2 - 7,18395 \cdot 10^{10} \sqrt{\lambda} D - (1,60672 \cdot 10^{16} \lambda + 5,129 \cdot 10^{10}) = 0$$

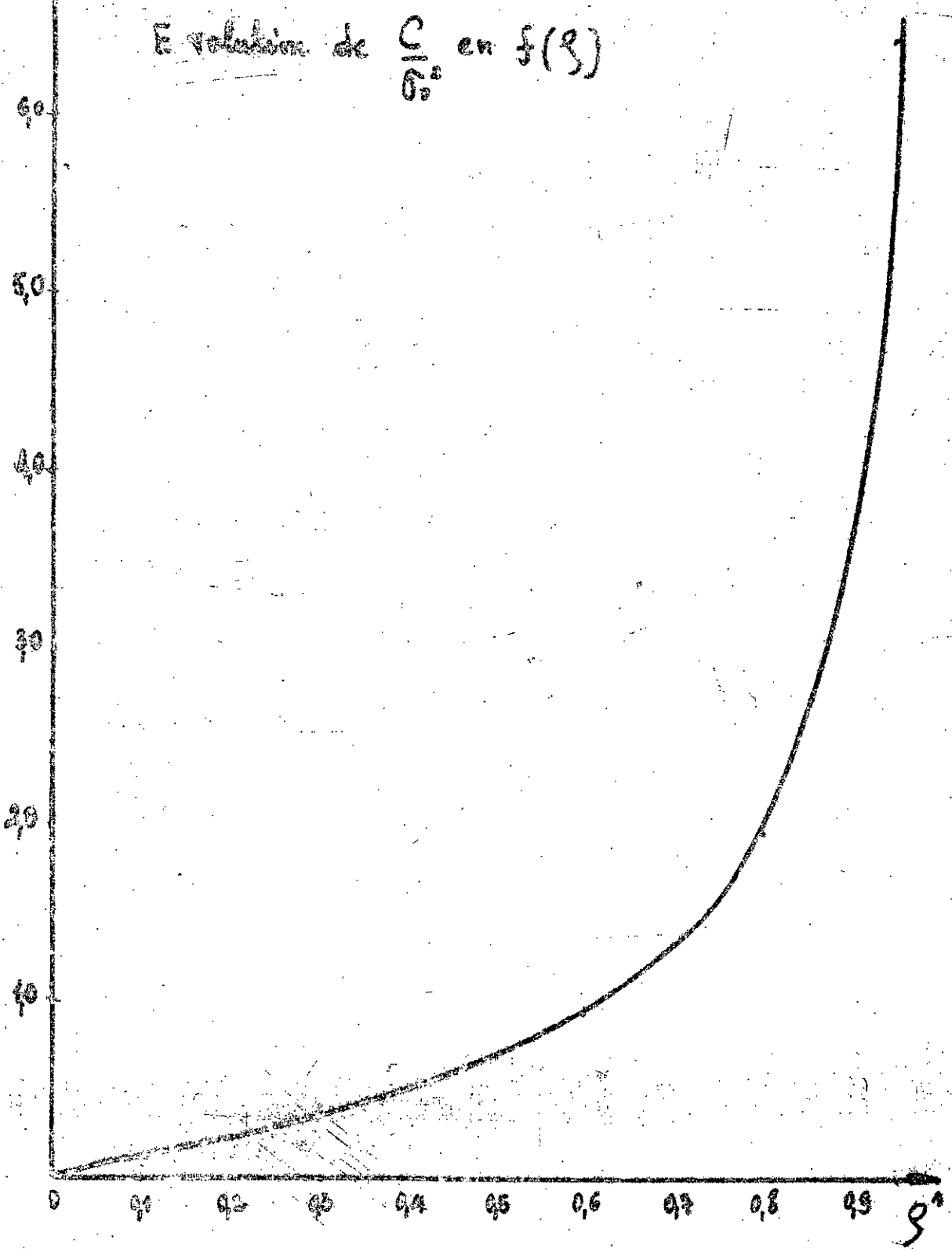
s'écrit

$$f(D) = D^4 + 2534834,8 D^2 - 7,18395 \cdot 10^{10} \sqrt{\lambda} D - (1,60672 \cdot 10^{16} \lambda + 5,129 \cdot 10^{10}) = 0$$

Après transformation de ce système non linéaire paramétré en une équation linéaire (en D), un programme (FORTRAN) est développé pour la résolution de cette équation par la méthode d'itérations successives.

$$\frac{C}{G_0} = [S^{-1}]$$

Evaluación de $\frac{C}{G_0}$ en $f(S)$



***** programme qui calcul les dispersions de
de l'écart et de l'accélération ainsi que
la fonctionnelle *****

```

READ*,W1,C1,A1
DO 60 R0=0.05,0.95,0.05
  P=R0/(1-R0)
  X1=A1*SQRT(P)
  XN=1.
15 AN=2534834.8
  BN=7.18395E+10*SQRT(P)
  CN=1.60672E+16*P+5.129E+10
  XP=BN*XN-AN*XN**2+CN
  X3=XP**0.25
  Y=ABS(X3-XN)
  IF(Y.LT.0.0000000000000001) GO TO 23
  XN=X3
  GO TO 15
23 RS=1267417.4
  RT=15922.1
  X2=(RS+X3**2)/RT
  X4=C1
  H=2.*(X3*X2-X1*C1)*(C1**3)
  TE=(C1*(W1*(X3-A1)-X1*C1)**2)/H
  T1=TE+(((W1-X2)*C1+A1*(X3-A1))**2)*X2)/H
  U=2.*X1*(C1**2)*(X3*X2-X1*C1)
  TY=X3*((A1*(X3-A1))**2)/U
  T2=TY+C1**2*X1*(D**2-2.*A1*(X3-A1))/U+(C1**3*X1*X2)/U
  FONC=T1+P*T2
  WRITE(1,*),=====
  WRITE(1,*),'R0=',R0
  WRITE(1,*),'
  WRITE(1,*),X1,X2,X3,X4
  WRITE(1,*),'
  WRITE(1,*),T1,T2,FONC
60 CONTINUE
STOP
END

```

valeurs de r₀ , A , B , D , E
 dispersions de l'écart et l'accélération ainsi que
 la fonctionnelle ####

=====	=====	=====	=====
R0= 5.0000001E-02			
32.50546	1922.063	5416.266	7961.050
3.6328162E-02	0.7523596	7.5920058E-02	
=====	=====	=====	=====
R0= 0.1000000			
47.22934	2763.872	6543.611	7961.050
6.4951673E-02	0.6207621	0.1339252	
=====	=====	=====	=====
R0= 0.1500000			
59.52087	3473.618	7051.190	7961.050
9.2771225E-02	0.5515274	0.1310936	
=====	=====	=====	=====
R0= 0.2000000			
70.84400	4121.622	8022.310	7961.050
0.1211763	0.5047067	0.2473530	
=====	=====	=====	=====
R0= 0.2500000			
81.80360	4747.956	8621.486	7961.050
0.1509817	0.4691320	0.3073501	
=====	=====	=====	=====
R0= 0.3000000			
92.75657	5373.245	9180.736	7961.050
0.1828785	0.4401636	0.3715200	
=====	=====	=====	=====
R0= 0.3500000			
103.9706	6012.850	9719.657	7961.050

=====
RO= 0.3500000

103.9706	6012.850	9719.557	7961.050
0.2175824	0.4154413	0.4412816	

=====

=====
RO= 0.4000000

115.6878	6680.615	10251.93	7961.050
0.2559298	0.3935946	0.5183263	

=====

=====
RO= 0.4500000

128.1616	7391.011	10789.49	7961.050
0.2989741	0.3737459	0.6047663	

=====

=====
RO= 0.5000001

141.6880	8160.825	11343.28	7961.050
0.3481043	0.3552853	0.7033897	

=====

=====
RO= 0.5500001

156.6420	9011.368	11925.29	7961.050
0.4052454	0.3377510	0.8180523	

=====

=====
RO= 0.6000001

173.5317	9971.429	12549.85	7961.050
0.4731724	0.3207613	0.9543145	

=====

=====
RO= 0.6500001

193.0882	11082.43	13235.87	7961.050
0.5560891	0.3039651	1.120596	

=====

=====
RO= 0.7000001

=====

RO= 0.7000001

216.4320	12407.80	14010.38	7961.050
----------	----------	----------	----------

0.6607366	0.2869969	1.330397	
-----------	-----------	----------	--

=====

RO= 0.7500001

245.4109	14052.11	14915.48	7961.050
----------	----------	----------	----------

0.7987468	0.2694202	1.607008	
-----------	-----------	----------	--

=====

RO= 0.8000001

283.3761	16204.95	16023.40	7961.050
----------	----------	----------	----------

0.9922844	0.2506300	1.994805	
-----------	-----------	----------	--

=====

RO= 0.8500001

337.2851	19259.74	17475.36	7961.050
----------	----------	----------	----------

1.290111	0.2296397	2.591404	
----------	-----------	----------	--

=====

RO= 0.9000002

425.0644	24229.76	19609.21	7961.050
----------	----------	----------	----------

1.827675	0.2044714	3.667921	
----------	-----------	----------	--

=====

RO= 0.9500002

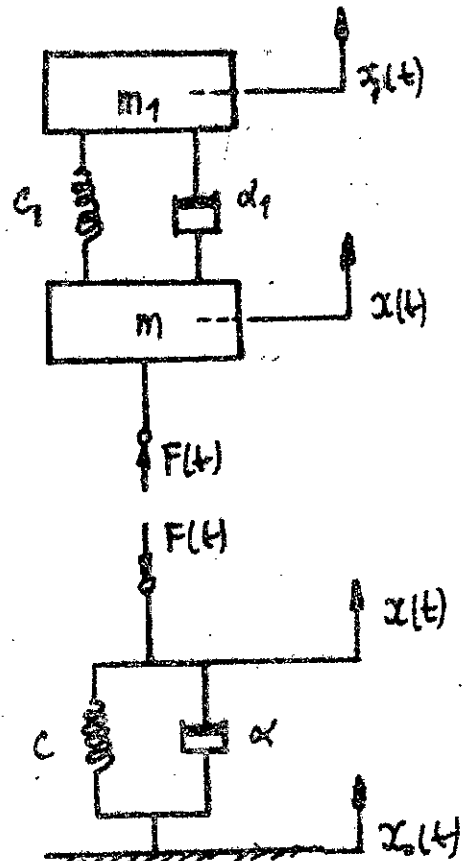
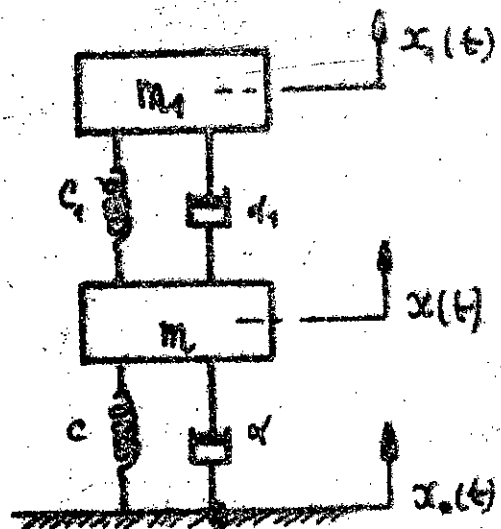
617.6048	35119.35	23620.04	7961.050
----------	----------	----------	----------

3.206141	0.1695429	6.427467	
----------	-----------	----------	--

=====

3 Système de vibro-isolation actif

3.1 Schéma bloc



La relation fondamentale de la dynamique pour ce système nous donne :

$$m_1 \ddot{x}_1 = -c_1 x_1 - d_1 \dot{x}_1 + c_2 x + d_2 \dot{x}$$

$$m_2 \ddot{x} = -c_1 x_1 - d_1 \dot{x}_1 + F(t) + c_2 x + d_2 \dot{x}$$

$$0 = -F(t) - cx - d\dot{x} + cx_0 + d\dot{x}_0$$

après transformatis de laplace et fourier

on obtient : $m_1 s^2 \bar{x}_1 = -c_1 \bar{x}_1 - d_1 s \bar{x}_1 + c_2 \bar{x} + d_2 s \bar{x}$

$$m_2 s^2 \bar{x} = -c_1 \bar{x} - d_1 s \bar{x} + s^2 \bar{F}(s) + c_2 \bar{x}_1 + d_2 s \bar{x}_1$$

$$0 = -\delta^2 \bar{F}(\delta) - C\ddot{x} - d_1\delta \ddot{x}_0 + C\ddot{x}_0 + d_1\delta \bar{x}_0, \quad (3)$$

(1) :

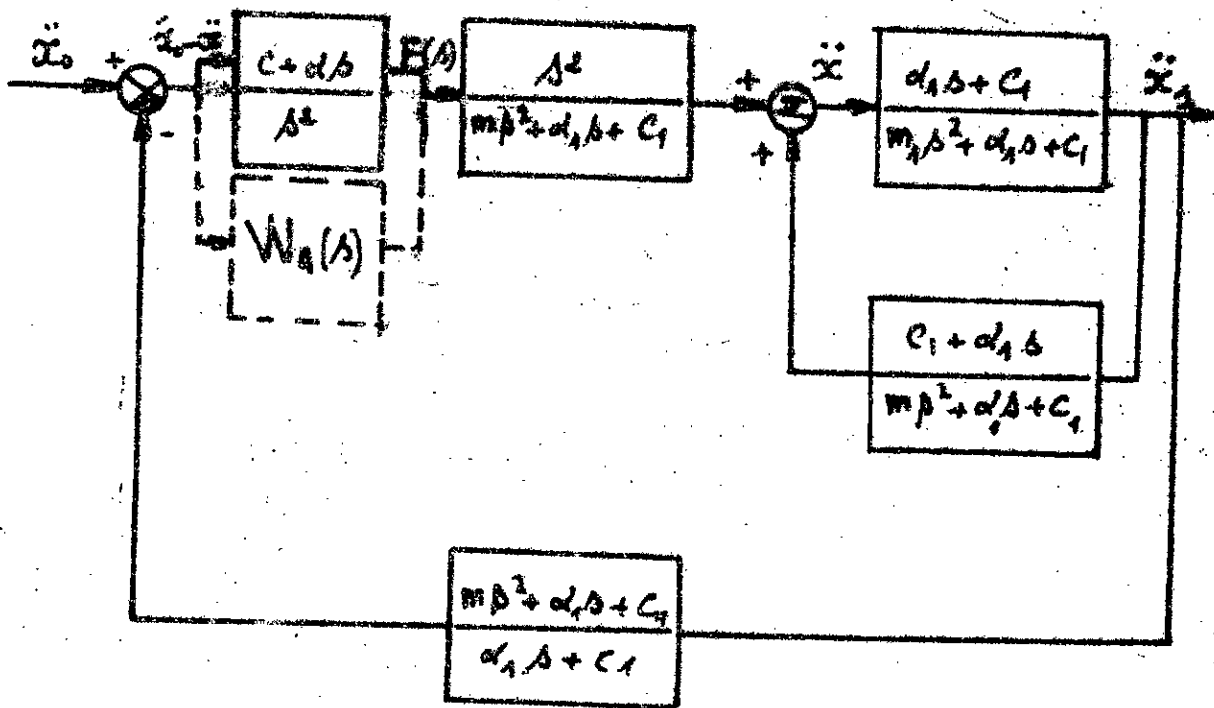
$$\ddot{x}_1 = \frac{C_1 + d_1\delta}{m_1\beta^2 + C_1 + d_1\delta}$$

(2) :

$$\ddot{x} = \frac{C_1 + d_1\delta}{m\beta^2 + d_1\delta + C_1} \ddot{x}_1 + \frac{\delta^2}{m\beta^2 + C_1 + d_1\delta} \bar{F}(\delta)$$

(3) :

$$\bar{F}(\delta) = \frac{C_1 + d_1\delta}{\delta^2} (\bar{x}_0 - \ddot{x})$$



En présence du système actif la fonction de transfert $W_a(\delta)$ devient en parallèle avec la fonction de transfert $\frac{C_1+d_1\delta}{\delta^2}$

 δ^2

CONCLUSION

1. L'étude ainsi faite concerne la vibro-isolation des systèmes à paramètres discrets ; qu'on pourra la compléter par la vibro-isolation des systèmes à paramètres continus, étude qui s'avère plus difficile, vu son application dans la vie courante.
2. Cette théorie nous permet de distinguer l'influence des systèmes passifs et actifs sur l'isolation vibratoire des systèmes mécaniques, et de tirer les comparaisons d'efficacités des systèmes de vibro-isolation passif obtenus par la méthode de Phillips, et les systèmes de vibro-isolation optimale obtenus par la Méthode de Wiener Hopf, et les systèmes de vibro-isolation passifs à paramètres optimisés, en présence du système actif.
3. Lors d'une excitation par un bruit blanc $S_{\Sigma}(s) = \sigma^2$, le système de vibro-isolation obtenu par la méthode de Phillips n'est que le système de vibro-isolation obtenu par la Méthode de Wiener Hopf. Et le système actif n'a aucune amélioration sur l'isolation vibratoire du système mécanique.
4. Lors d'une excitation $S_{\Sigma}(s) = \sigma^2 \cdot \Omega^2 / (\omega_0^2 - s^2)$, le système de vibro-isolation obtenu par la Méthode de W.H est meilleur que celles obtenus par la méthode de Phillips.
5. Pour le système actif, son influence sur l'isolation vibratoire dépend de son action et du multiplicateur de Lagrange.

BIBLIOGRAPHIE

1. Doeblin ; Mc Graw - Hill
"Dynamic Analysis and Feedback Control."
New York ; San Francisco ; Toronto ; London 1962
2. V.V Solodovnikov
Dynamic Statistique des Systèmes linéaires de
Commande Automatique
Dunod . Paris 1965.
3. Analytical Design of Linear feedback Controls
New York . John Wiley & Sons, Inc . 1957.
4. V.A . Svetlichny
traduit du russe par Albert Courbat.
Vibrations Aleatoires des Systèmes mécaniques
Paris 1980
5. P. Lévy
Processus Stochastiques et Mouvement Brownien.
Paris .
6. J Stern ; J.de Barbuyrac
Méthodes pratiques d'étude des fonctions aléatoires
Dunod , Paris 1967
7. J.-Ch . Gille P. Decaulne M. Pélegri
théorie et calcul des asservissements linéaires

Bordas, Paris, 1982

8. Michel Cerr

INstrumentation industrielle

technique et vulgarisation 1976

9. Marek Ksiazek ; C. Ahrikenechikh

"vibro-isolation optimum des excitations stochastiques"

Promotion, école Nationale polytechnique d'Alger J.83

